

## 目 次

### 原 著

野附誠夫・服部忠彦・千場達： 近年に於ける太陽面現象の概況 ..... 57

### 総 合 報 告

藤田 良 雄： 太陽吸收線の輪廓に就いて (IV) ..... 63

### 論 築

橋 元 昌 矢： 水晶時計に就いて (IV) ..... 69

### 新 著 紹 介

### 抄 錄 及 資 料

無線報時修正値 ..... 76

I月に於ける太陽黒點概況 ..... 76

Cosik-Peltier 蝶星 ..... 77

Zwicky 発見の超新星 ..... 77

### 天 象 櫃

流星群 ..... 77

變光星 ..... 77

東京(三鷹)に於ける星の掩蔽 ..... 77

太陽・月・惑星 ..... 78

### 社團法人日本天文學會通常總會

来る四月二十三日通常總會を開催致しますから、會員各位は萬葉御縁合せの上御出席下さい。

日 時 昭和十四年四月二十三日(日)午後一時より

會 場 東京府北多摩郡三鷹村 東京天文臺

議 事 (イ) 昭和十三年度會務及び會計報告

(ロ) 定款一部變更の件

(ハ) ダニエル彗星再發見に貢献せる廣瀬秀雄、清水眞一兩氏表彰の件

(ニ) 理事長、副理事長の改選。

### 春季講演會

通常總會後同一會場で引き続き次の如く講演會を開きます。

日 時 昭和十四年四月二十三日 午後二時半より

講演題目及氏名

(イ) 潮汐の話 中野猿人氏

(ロ) ダニエル彗星再發見に就いて 廣瀬秀雄氏・清水眞一氏

### 參會者への注意

1. 來會者は靴又は草履を用ひられたし
1. 來會者は名刺に特別又は通常會員と記し受附に渡されたし
1. 交通は省線武藏境驛より三杆半、京王電車上石原驛より二杆、兩驛より四十分毎に乗合自動車の便あり

今回は天文臺參觀を行はず

## 原 著

## 近年に於ける太陽面現象の概況

野附誠夫・服部忠彦・千場達

**序** 東京天文臺に於ける太陽面諸現象の觀測のうちで黒點、カルシウム綿羊斑及び紅焰に關するものは、毎週及び毎月定期的に發表されてゐるが<sup>(1)</sup>、此等の現象の活動の最も渺なかつた1934年頃以後最近まで如何なる變化を示してゐるかをこゝで一瞥を行ふことにする。

東京天文臺の太陽觀測は日々不斷に行はれてゐるものであるが、曇天荒天のために觀測を缺く場合も相當多いのである。最大の觀測日數は28日にも及んだこともあるが、毎月の平均日數は20日前後である。従つて1ヶ月の約 $\frac{1}{3}$ は觀測が出来ないことになつてゐる。かゝる状況では太陽面現象を統計的に調査する上に支障が多いので、ウォルフ黒點數及びカルシウム綿羊斑指示數は現今東京天文臺を始め各國の天文臺の協力のもとに萬國天文協會の仕事としてZürich天文臺が決定してゐる値をとることにした。紅焰の觀測は東京天文臺の觀測そのまゝである。此等の現象の月平均の量に就いて觀察を行ひ、次にこれと關聯あると思意されてゐる地球大氣現象の一々に就いて考察を試みやうと思ふ。

**黒點** 黒點の多寡を示す一つの方法として古來用ひられてゐるウォルフ黒點數 $r$ は黒點群の數 $g$ 及び觀測された黒點及核の總數 $f$ とから次の式を以て計算されてゐるものである<sup>(2)</sup>。

$$r = \kappa(10g + f)$$

こゝで $\kappa$ は觀測器械及び觀測者による恒數である。各天文臺の $\kappa$ の値はZürichの値を標準として3ヶ月分毎に發表されてゐる<sup>(3)</sup>。東京天文臺の1937年末までの5時太陽寫眞儀による寫眞觀測による $\kappa$ の値は次の如くである。

$$\kappa_1 = 0.64 \pm 0.028(\text{m.e.}) \quad 1933-1937$$

$$\kappa_2 = 0.64 \pm 0.016(\text{m.e.}) \quad 1937 \text{のみ}$$

$\kappa$ の値は1937年だけでも1933年から1937

年までも0.64で後者の方が平均誤差は渺くなつてゐる。1938年の初めからは8時Zeiss天體望遠鏡による肉眼觀測である。1938年のI月から同年IX月迄の平均の値は次の如くである。

$$\kappa_3 = 0.53 \pm 0.024(\text{m.e.})$$

毎月の平均日々黒點數は第1表及び第1, 2圖で示してゐる。初めの圖及び表は太陽全面に對する値で後のものは太陽半徑の半分を半徑とする中央部の圓形面に對するものである。何れも1933年の黒點數最少期より次第に増加し、大分不規則な變化はあるが1937-1938年の間で極大に達し1938年の終り頃から下り坂にかゝつてゐると思はれる。然し月々の數値で最大なもののは1938年

第1表 ウォルフ黒點數

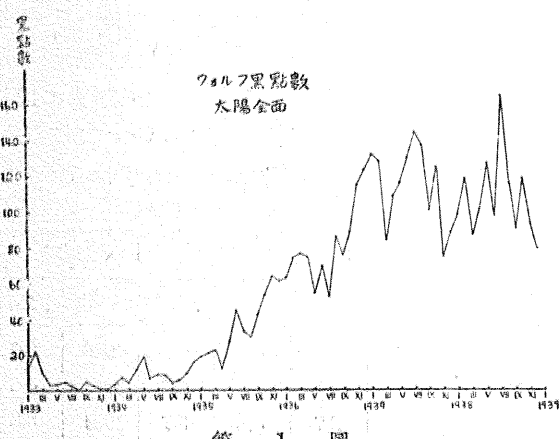
年 月	1933		1934		1935	
	全面	中央部	全面	中央部	全面	中央部
I	12.3	4.5	3.4	0.9	18.9	3.6
II	22.2	9.5	7.8	2.6	20.5	4.6
III	10.1	3.7	4.3	3.7	23.1	8.3
IV	2.9	1.7	11.3	2.1	12.2	1.6
V	3.2	1.1	19.7	5.5	27.3	9.3
VI	5.2	2.5	6.7	2.2	45.7	10.3
VII	2.8	0.7	9.3	2.5	33.9	7.7
VIII	0.2	0.0	8.3	1.6	30.1	7.8
IX	5.1	2.4	4.0	1.0	42.1	11.0
X	3.0	1.8	5.7	2.3	53.2	21.2
XI	0.6	0.3	8.7	2.3	64.2	19.0
XII	0.3	0.3	15.4	4.4	61.5	19.8
平均	5.66	2.37	8.72	2.55	36.07	10.35

(1) Weekly Bulletin of Solar Phenomena,  
Tokyo Astronomical Bulletin.

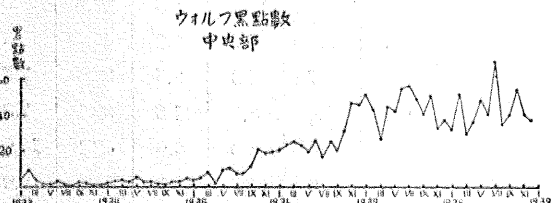
(2) Zürich, Astronomische Mitteilungen

(3) Bulletin for Character Figures of Solar  
Phenomena, 1933-1938

年 月	193		1937		1938	
	全面	中央部	全面	中央部	全面	中央部
I	62.8	20.6	132.5	51.8	98.4	32.5
II	74.3	23.7	128.5	43.2	119.2	52.4
III	77.1	25.8	83.9	27.0	86.5	29.5
IV	74.9	23.3	109.3	45.1	101.0	36.4
V	54.6	19.8	116.7	43.0	127.4	49.2
VI	70.0	26.3	130.3	55.1	97.5	40.7
VII	52.3	16.8	145.1	56.6	165.3	70.6
VIII	87.0	25.8	137.7	49.5	115.7	35.7
IX	76.0	20.3	100.7	40.7	89.6	40.9
X	89.0	33.1	124.9	51.3	119.3*	55.3*
XI	115.4	47.7	74.4	33.3	93.3*	41.1*
XII	123.4	46.3	88.8	37.7	79.6*	38.0*
平均	79.73	27.46	114.40	44.53	107.73*	43.53*



第 1 圖



第 2 圖

VII 月の 165.3 であるが日々の観測での最大値は 1937 年 I 月 30—31 日の 233 である。この数値は太陽面に對する値であるが前述の中心部に就ての日々の値の最大は太陽全面の場合と同じく 1938 年 VII 月の 70.6 であるが日々の数値の最大の日は 136 の値をもつ 1937 年 VI 月 17 日である。太陽全面の黒點數の殊に著しかつた日即ちそ

の數値が 200 以上の日は 1936 年 XII 月 30 日、1937 年 I 月 26 日、28—31 日、V 月 23—24 日、VII 月 11—12 日、14—15 日、VIII 月 3 日、5 日、X 月 3—4 日、1938 年 II 月 14 日、16 日、VII 月 11—15 日、25 日である。この中で 1938 年の VII 月に 5 日も 200 以上の黒點數に達した日の續いたことは稀れなことである。太陽中心部に就いて黒點數 100 以上の日は 1936 年 XI 月 28—XII 月 1 日、1937 年 I 月 30 日—I 月 1 日、IV 月 23—24 日、V 月 21—22 日、VI 月 16—18 日、VII 月 12 日、14 日、VIII 月 4—5 日、24—25 日、IX 月 11 日、X 月 3—5 日、XII 月 27 日、1938 年 V 月 24 日 VII 月 1 日、11 日、13—14 日、25 日—26 日、IX 月 27 日であつた。以上の事柄は 1938 年 IX 月迄の結果によるものである。圖及び表に於ける 1938 年 X 月以後の分は  $\kappa=0.53$  として東京天文臺の觀測より計算したものである。

**カルシウム綿羊斑** 綿羊斑の状況はその面積及び強さに從つて指示數なるものが考案されてゐる。この指示數は綿羊斑の活動状況で 0 から 5 近に區分され與へられてゐるものである<sup>(1)</sup>、0 は極めて僅少な場合或は全くない場合で 5 はその量及強さに於て極めて著しい場合を示すものである。カルシウム綿羊斑の觀測は  $K_2$ ,  $K_3$  或は  $K_{2-3}$  の光線による太陽分光寫真儀によつて行はれるもので、現今萬國天文協會の仕事に協力してゐる天文臺は凡そ 8 ケ所である。東京天文臺もその中の 1 つである。日々の指示數は各天文臺の觀測によるものの平均値が用ひられてゐる。然しこの種の區分法には判然とした物指しを與へることが困難なためか各天文臺の値に相當大きな隔りがある場合が多いので、平均値をとつても意味をなさない場合もあるやうに思はれる。さりながら東京天文臺の値のみによる時は前に黒點の場合で述べた如く 1 ヶ月約  $1/3$  も觀測が行はれてゐないので統計的考察の場合には、價値を減少することになる。

第 2 表及び第 3, 4 圖はかかるカルシウム綿羊斑指示數を太陽全面及び中央部に就いて毎月の平均日々の値を以て示したものである。これらの指

(1) Bulletin for Character Figures of Solar Phenomena

示數は 1933 年の極少期から不規則ながら次第に增加を示してゐる。その最大値は 1937 年 VIII 月の 3.9 であるが 1936 年末から 1938 年末に至

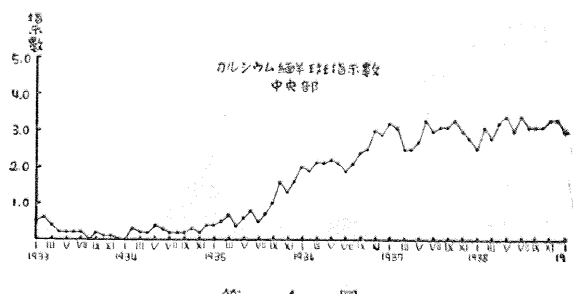
第 2 表 カルシウム締羊斑指示數

年 月	1933		1934		1935	
	全面	中央部	全面	中央部	全面	中央部
I	0.8	0.5	0.1	0.0	1.1	0.4
II	1.0	0.6	0.6	0.3	1.0	0.5
III	0.7	0.4	0.4	0.2	1.2	0.7
IV	0.3	0.2	0.6	0.2	0.9	0.4
V	0.3	0.2	1.0	0.4	1.1	0.6
VI	0.4	0.2	0.7	0.3	1.8	0.8
VII	0.3	0.2	0.7	0.2	1.4	0.5
VIII	0.0	0.0	0.6	0.2	1.6	0.7
IX	0.3	0.2	0.5	0.2	2.0	1.0
X	0.1	0.1	0.6	0.3	2.3	1.6
XI	0.2	0.1	0.6	0.2	2.2	1.3
XII	0.0	0.0	0.9	0.4	2.6	1.6
平均	0.37	0.23	0.61	0.25	1.60	0.84

年 月	1936		1937		1938	
	全面	中央部	全面	中央部	全面	中央部
I	3.1	2.0	3.8	3.2	3.1	2.5
II	2.9	1.9	3.6	3.1	3.5	3.1
III	2.8	2.1	3.2	2.5	3.4	2.8
IV	2.9	2.1	3.0	2.5	3.5	3.2
V	2.8	2.2	3.2	2.7	3.8	3.4
VI	2.7	2.1	3.7	3.3	3.2	3.0
VII	2.7	1.9	3.6	3.0	3.7	3.4
VIII	3.0	2.1	3.9	3.1	3.7	3.1
IX	3.3	2.4	3.5	3.1	3.5	3.1
X	3.3	2.5	3.7	3.3	* 3.6	* 3.1
XI	3.5	3.0	3.4	3.0	* 3.7	* 3.3
XII	3.6	2.9	3.2	2.8	* 3.8	* 3.3
平均	3.05	2.27	3.48	2.97	* 3.54	* 3.11



第 3 圖



第 4 圖

るまで何處にその極大期を置くべきかは相當困難なことである。日々の指示數でも前述の如く天文臺で異なる場合があり然も 1ヶ所の観測のみで決定されてゐる場合もあるので、何日が最大値であつたかも厳密には言はれないが、Zürich で決定した値で 4.5 以上の日は太陽全面では 1936 年 XII 月 2—5 日、1937 年 I 月 22 日、24 日—I 月 1 日、24—28 日、V 月 21 日、VI 月 15—19 日、VIII 月 8—10 日、X 月 2—4 日、XI 月 1 日、1938 年 VIII 月 9 日、IX 月 3 日である。以上は 1938 年 IX 月迄の事柄である。表及び圖で 1938 年 X 月以後の分は東京天文臺のみの観測によるものである。今年に入つて指示數も減退を示して來たやうに思はれる。

黒點數とカルシウム締羊斑指示數、兩者の關係は今迄の圖に於て比較される如く一次的の相關にあると考へられないものである。今試みに二次曲線として兩者の關係を假定して指示數年平均の値に就いて 1917 年から 1937 年迄の統計を行つた結果は次の如くである。次の表で  $r$  は黒點數  $F$  は指示數とし、用ひた式  $a + b \log_{10} r + c \log_{10} r^2 = F$  に於ける  $x$  は  $r$  の函数である。

第 3 表

case	$x$	$a$	$b$	$c$	mean deviation
I	$x = r/10$	+0.29	+1.19	-0.119	0.17
II	$x = \log_{10} r$	+0.74	-1.31	+1.27	0.13
III	$x = (\log_{10} r)^2$	+0.66	+0.61	+0.044	0.13

材料は 21 年間のものである。mean deviation は観測値—計算値の絶対値の和を材料の數で割つたものである。II の場合をとれば係數と平分誤差

は次の如くである。

$$a = +0.738 \pm 0.420 \text{ (m.e.)}$$

$$b = -1.305 \pm 0.558 \text{ (m.e.)}$$

$$c = +1.273 \pm 0.285 \text{ (m.e.)}$$

これは太陽全面に對するものであるが同じ假定の下に中央部に就いては

$$a = +0.382 \pm 0.168 \text{ (m.e.)}$$

$$b = -0.799 \pm 0.372 \text{ (m.e.)}$$

$$c = +1.346 \pm 0.168 \text{ (m.e.)}$$

となる。カルシウム綿羊斑の指示數は前述の如き大きな誤差を有すると考へられるので今得た關係も大體の傾向を示す程度でとどまるものである。

**紅焰** 紅焰の消長を検査する爲に日々に出現した數を比較するのも一つの方法であるがこれには紅焰の大きさが全然問題となつて居らず、如何に大きな紅焰が現はれても小さな紅焰と同様1箇として取扱はれ、太陽活動の目安としては少しく不適當な様に思はれる。そこで紅焰の高さとその底の擴がりとの相乗積を一つの相對數として取扱ひ之を紅焰消長の目安として使用する。つまり底の幅だけ同じ高さの矩形の紅焰があればその天球に投影した面積を示すわけであり、又多くの紅焰の様に理想的な三角形を持つて居ればその紅焰の天球に投影した面積の2倍を示すわけである。この単位としては便宜の爲、高さの方に角度の秒を使用し、幅の方は角度の度を単位とする。即ち前者は地球を中心として太陽紅焰を見た角度であり、後者は太陽を中心とした紅焰の擴がりである。之を太陽表面上の實際の大きい表はす場合後者は常に恒数であつて、太陽の半径を 695553km とすれば1度の幅は

$$\frac{2\pi \times 695553}{360} = 12140 \text{ km}$$

に當るわけである。然るに高さの単位1秒は地球太陽間の距離の變化によつて日々異つてくる。即ち1939年を例にとれば太陽が一番地球に近い時は1月4日の太陽の視半徑 16' 17."90 でこの時の高さ 1" は

$$695553 \times \frac{1}{977.90} = 711 \text{ km}$$

に相當し、又一番地球から遠い時はVII月6日の 15' 45."67 でこの場合には

$$695553 \times \frac{1}{945.67} = 736 \text{ km}$$

に相當する。故に所謂「紅焰面積」の一單位は

$$12140 \times 711 = 8631540 \text{ 平方杆}$$

$$\text{から } 12140 \times 736 = 8935040 \text{ 平方杆}$$

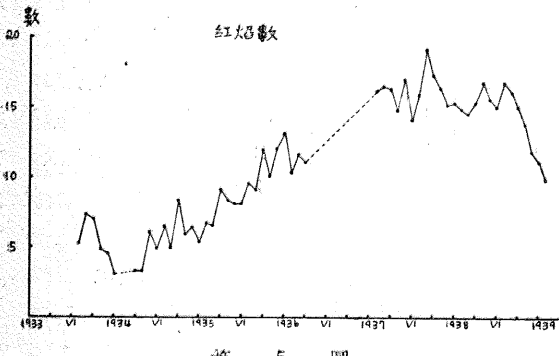
の間で日々變化して居るのである。併しこの差は一番大きい時で約3%に相當するわけでこの位の差は寧ろ日々の觀測の中に含まれるので紅焰活動の趨勢を知る爲には日々の値を一々實際の大きさに直す事は手數のみ掛つて結果には大した影響を及ぼさないから簡単の爲に高さは角度の 1", 幅は 1° なる紅焰の面積を一單位として使用する。

東京天文臺に於ける水素の H<sub>a</sub>線の紅焰實視觀測は1933年VII月に初められ、1934年I, II月はロソップ島日食の爲、1936年IV—XII月は北海道日食その他の爲に中斷せられたがあとは連續した觀測があるので、その月々の紅焰數、及び面積の1日平均を圖に書いて見ると第4表及び第5, 6圖の如くなる。紅焰數の方は1934年の初め頃に極小があり以來漸次増加し1937年の中頃に極大に達しその後、特に1938年VII月以降は一路減少の道を辿りつゝある。面積の方はやはり1934年の初め頃を極小として略々紅焰數と平行して増加して来るが1937年の中頃或はそれより前に極大に達し以後頗る減少するが時々飛び離れて大きな面積を示す月がある。之は最近の傾向と

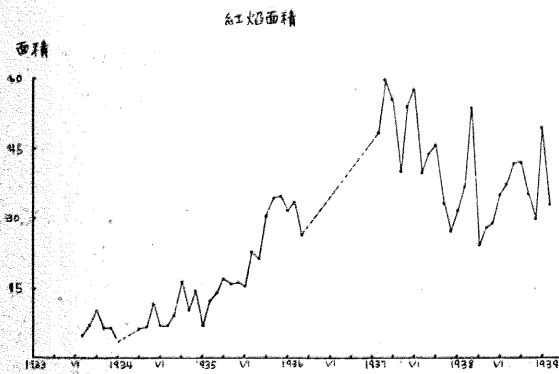
第4表 紅焰

年 月	1933			1934			1935		
	日數	數	面積	日數	數	面積	日數	數	面積
I	—	—	—	—	—	—	18	6.7	1224.6
II	—	—	—	—	—	—	13	6.5	1413.3
III	—	—	—	4	3.3	635.0	16	9.1	1698.6
IV	—	—	—	8	3.3	674.5	11	8.3	1574.9
V	—	—	—	14	6.1	1160.4	12	8.1	1607.6
VI	—	—	—	14	4.9	706.4	9	8.1	1512.6
VII	4	5.3	470.0	8	6.4	702.4	8	9.5	2282.6
VIII	22	7.3	724.3	7	4.9	914.1	9	9.1	2143.4
IX	21	7.0	1110.2	3	8.3	1631.0	7	11.9	3056.3
X	16	4.8	651.8	12	5.9	1031.2	14	10.1	2431.4
XI	16	4.5	665.4	19	6.3	1415.2	18	12.1	3482.8
XII	9	3.0	346.1	18	5.3	712.1	17	13.1	3491.7
年 平均	88	5.7	742.3	107	5.5	963.2	152	9.4	2189.8

年 月	1936			1937			1938		
	日数	數	面積	日数	數	面積	日数	數	面積
I	21	10.3	3165.8	17	16.2	4820.2	26	14.9	3625.9
II	16	11.7	3335.7	16	16.5	5930.8	24	14.6	5320.6
III	14	11.1	2628.5	10	16.3	5523.1	14	15.3	2472.8
IV	—	—	—	15	14.8	3978.5	19	16.8	2773.1
V	—	—	—	14	16.0	5357.2	15	15.7	2859.5
VI	—	—	—	11	14.1	5723.3	13	15.1	3467.5
VII	—	—	—	15	15.9	3913.6	11	16.8	3699.6
VIII	—	—	—	26	19.1	4360.1	15	16.2	4129.7
IX	—	—	—	12	17.3	4535.9	18	15.2	4159.0
X	—	—	—	9	16.4	3261.4	17	13.9	3471.1
XI	—	—	—	14	15.2	2693.7	24	11.8	2949.2
XII	—	—	—	24	15.3	3114.6	24	11.1	4891.5
年 平均	51	11.0	3071.6	183	16.3	4360.7	220	14.5	3736.1



第 5 圖



第 6 圖

して紅焰の數は一般に減少して居るが時々非常に高い、或は幅の廣い紅焰が出現する爲である。例へば1938年II月には幅 $20^{\circ}$ 以上のものが8回、高さ $100''$ 以上のものが22回出現して居り、従つてその月の紅焰面積は、非常に大きなものとなつ

て居る。又1938年XII月には未だ嘗て見た事のない幅 $65^{\circ}$ 高さ $200''$ に達する大紅焰が2日に亘つて見られ、その月の面積を非常に膨大にして居る<sup>(1)</sup>。之等の事を考へると紅焰の活動は1937年以來減少しつゝも間歇的に相當活潑である事が窺はれよう。從來の觀測で一番紅焰の數が多かつたのは1937年VIII月20日及び同月24日の24箇であり月平均箇數も1937年VIII月が極大を示して居る。面積の最大は1938年XII月25日で前述の大紅焰の爲に20433といふ大きな數を示して居る。併し月平均の最大は1937年II月で面積5931となつて居る。年平均では1937年が箇數、面積共に極大を示して居る。1938年I月29日に太陽の西北部に現はれた紅焰は高さ45萬杆に達し最近での最高を示し<sup>(2)</sup>、幅に於ては前に述べた1938年XII月25日の $65^{\circ}$ が斷然他を引き離して居る。なほ1938年1月初旬からII月末まで2ヶ月に亘つて見られた紅焰は非常に太陽の北極に近く日心緯度北 $75^{\circ}$ 附近にあり全期間を通じて、北極の周囲を廻轉する様子が見られた。この紅焰の位置の測定から高緯度に於ける太陽の自轉速度を求める事が出来るが之は他の機會に譲るけれども1937年から1938年の初めにかけて高緯度の紅焰が非常に多くなつた事は注目すべき事柄である。

**短電波異常現象及び磁氣嵐** 太陽面現象と地球上の現象との相關は夙に多くの人によつて考察の対象となつてゐたものである。殊に近年頻りに太陽面の所謂 bright eruption<sup>(3)</sup>との關係が唱へられてゐる。黒點數と此等の現象はたゞへ一次的關係はないにせよ何等かの關聯のある可能性は種々な例でも考へられる事柄である。例へば1938年I月18日頃太陽子午線を通過した大黒點が太陽面で見られた際磁氣嵐と短電波の傳播に異常現象が屢々起つてゐることが知られてゐる。またこの期間にウィルソン天文臺に於て北極光さへ見られた時があつたと報ぜられてゐる<sup>(4)</sup>。こゝでは太陽

(1) T. A. B., No. 338

(2) " 239

(3) H.W. Newton, H.J. Barton, M.N. 97, 594(1937)  
M. Woldmeier, Zs. f. Ap. 14, 229 (1937)

(4) Pub. of Astr. Soc. of the Pacific 50, 129(1938)

第5表 短電波異常現象と磁氣嵐の日数

	1933					1934					1935				
	$D_1$	$D_2$	$D_3$	$M$	$D_1+2D_2+3D_3$	$D_1$	$D_2$	$D_3$	$M$	$D_1+2D_2+3D_3$	$D_1$	$D_2$	$D_3$	$M$	$D_1+2D_2+3D_3$
I	—	—	—	—	—	1	0	0	0	1	2	0	0	2	2
II	—	—	—	—	—	1	0	0	0	1	4	0	0	1	4
III	—	—	—	—	—	4	0	0	2	4	1	1	0	2	3
IV	—	—	—	—	—	1	0	0	1	1	0	0	0	3	0
V	—	—	—	—	—	1	0	0	3	1	0	0	1	1	3
VI	—	—	—	—	—	0	0	0	1	0	0	0	0	5	0
VII	—	—	—	—	—	0	0	0	2	0	1	0	0	2	1
VIII	—	—	—	—	—	2	0	0	3	2	0	0	0	1	0
IX	—	—	—	—	—	0	0	0	2	0	1	0	0	3	1
X	2	0	0	0	2	2	0	0	1	2	2	0	0	2	2
XI	4	0	0	3	4	1	0	0	0	1	2	0	0	0	2
XII	1	0	0	1	1	2	0	0	4	2	2	0	0	0	2

	1936					1937					1938				
	$D_1$	$D_2$	$D_3$	$M$	$D_1+2D_2+3D_3$	$D_1$	$D_2$	$D_3$	$M$	$D_1+2D_2+3D_3$	$D_1$	$D_2$	$D_3$	$M$	$D_1+2D_2+3D_3$
I	4	0	0	0	4	3	0	3	1	12	1	3	1	5	10
II	2	1	0	4	4	0	0	0	4	0	1	1	0	0	3
III	3	1	0	0	5	0	0	0	2	0	1	0	0	4	1
IV	4	3	0	0	10	2	1	5	8	19	4	1	3	4	14
V	3	0	3	0	12	4	2	1	2	11	1	0	0	1	1
VI	6	1	2	2	14	7	1	5	3	24	0	1	0	1	2
VII	2	2	1	1	9	3	4	5	3	26	5	7	0	4	19
VIII	1	0	1	0	4	2	0	2	1	8	0	2	0	4	4
IX	1	0	1	0	4	1	3	0	1	7	—	—	—	—	—
X	1	0	1	1	4	0	2	5	4	17	—	—	—	—	—
XI	4	1	2	2	11	0	0	0	0	0	—	—	—	—	—
XII	0	1	2	0	7	1	1	0	0	3	—	—	—	—	—

全面に於ける黒點數と 1933 年 X 月から 1938 年 VIII 月までの遞信省工務局発表による電波異常現象と磁氣嵐の発現した日数に就いて簡単な統計を試みることにする。實際には異常現象の起つた回数も考慮に入れる必要があるが、その材料が得られなかつたので、取りあへず異常現象の起つた日数とその日の強弱によつて 1 種の相對數を作つた。即ち 1 ヶ月中に於て異常現象の起つた日数を  $d$  であらはし、之れを三通りに區分し最弱のものを  $d_1$ 、最强の場合を  $d_3$  として、相對數は  $d_1+2d_2+3d_3$  で示すものと假定する。この相對數の毎の値は第5表及び第7圖に示した通りである。

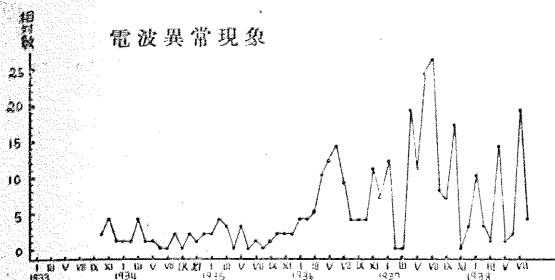
之れと黒點、纏羊斑、紅焰の状況とは今迄の圖を比較することで知ることが出来る。この一種相對數と黒點數や紅焰數等と細い出入では一致しない所が多いが大體その極大期は近いものと考へられる。1937年 VII 月、1938年 VII 月の黒點數の多い所では相對數も特に大きい。磁氣嵐の場合は第5表の M の欄で日数だけ挙げたが黒點數その他の關係はこれだけでは探し得ないやうに思はれる。次に 1933 年 X 月から 1938 年 IX 月迄の異常現象のあつた前後の日の黒點數を調べてみると、次表で I は異常現象のあつた日

とその前日との比較で、II は異常現象のあつた日とその現象のない翌日との比較である。こゝで I の場合で黒點數が増加してゐる場合を +、減少してゐる場合を -、増減なき場合を 0 とした。II の場合ではその翌日が増加してゐる場合を +、減少してゐる場合を -、増減のない場合を 0 とした。

即ち異常現象のあつた日で黒點數が増加してゐる

第6表 電波異常現象と黒點數の増減

場合	回数	+	-	0
I	190(100%)	93(49%)	76(40%)	21(11%)
II	137(100%)	62(45%)	58(42%)	17(13%)



第 7 圖

る場合は増加しない場合に比べて約 9% 多いが、全體として考へれば 49% にすぎないので、黒點數が増加した際に異常現象が起り易い幾分の傾向を暗示するにとどまつて判然たる事實と言ひ難い。異常現象があつたその翌日では黒點數の増加

してゐる場合と減少してゐる場合が著しい差異を有するものとは到底考へられない。磁氣嵐に就いても同様の考へ方に従つて行つた統計は次の如くである。磁氣嵐に就いては黒點數が減少して行く

第 7 表 磁氣嵐と黒點數の増減

場合	回 数	+	-	0
I	107(100%)	37(35%)	54(50%)	16(15%)
II	72(100%)	28(38%)	33(46%)	11(15%)

途中で起り易い傾向が暗示されるにとどまる。

終りに異状現象及び磁氣嵐の材料を下さつた橋元先生に御禮申上げる。

(東京天文臺報第六卷第三號別刷)

## 総合報告

## 太陽吸收線の輪廓に就いて (IV)

藤田 良雄

## 11. Line の wing の研究

フラウンホーファー線の中で特に強度の大なる線の equivalent breadth が測定者によつて著しく違ふ事は今迄の結果からよく知られて居て、例へば  $\text{Ca}^+$  の K 線に就いては Woolley<sup>(1)</sup> は Unsöld の結果<sup>(2)</sup>を reduce して  $12.6\text{\AA}$  と云ふ數値を得たが、Minnaert<sup>(3)</sup> の reduce した處によると  $17.4\text{\AA}$  である。斯の様な違ひの原因は測光上の誤差にしては餘りに大きい。その最も著しい原因是、吸收線の強度が餘りに大なる爲、連續背部に影響を及ぼし、連續背部が判然としない事、及び wing が著しく擴がつて居る爲輪廓の面積を充分精確に測れないからである。従つて outer wing の理論的研究が又必要となつて来る。輪廓の此の部分は勿論 Doppler の擴がりを生ずる所謂 Doppler core でなく damping のみの擴がりを生ずる部分である<sup>(4)</sup>。Outer wing に對しては近似的に、散亂メカニズムを持つ原子は相加的の作用をすると考へる事が出来る<sup>(5)</sup>。従つてこれに關係する量は連續吸收係數  $\kappa$ 、選擇吸收係數  $\kappa_v$ 、及び選擇散亂係數  $\sigma$  であつて夫々の optical depth は

$$\int \kappa p dx = \tau, \quad \int \kappa_v p dx = \tau_v, \quad \int \sigma p dx = s$$

で與へられる。

Unsöld<sup>(6)</sup>は、 $\kappa_v$  及び  $\sigma$  が  $\kappa$  の函数として與へられて居る大氣に於て、optical depth  $\tau$  に於ける吸收或は散亂メカニズムを持つ原子は、line の wing に對し、一種の函数  $g$  であらはされる様な影響を有し、 $\tau=0$  で  $g \approx 1$ 、 $\tau > 1$  で  $g \approx 0$  なる結果を得た。 $g$  は吸收或は散亂のいづれかのメカニズムをとることにより異なる値を有つ。

先づ前と同様に Schwarzschild の輻射の方程式から出發し、wing に於ては  $\sigma_v \ll \kappa$  及び  $\kappa_v \ll \kappa$  なる條件を用ひ、 $i$  を line の強度、 $i_0$  を連續背部の強度とすれば、 $i/i_0 > 0.85$  なる outer wing<sup>(7)</sup> では吸收線の深みをあらはす量  $\frac{i_0 - i}{i_0}$  は

- (1) Woolley, M. N., **93** (1933), 700.
- (2) Unsöld, Zs. f. Phys., **44** (1927), 793; **46** (1927), 765.
- (3) Minnaert, Zs. f. Ap., **10** (1935), 40.
- (4) 之等に就いては § 12 で述べる積りである。
- (5) Unsöld, Zs. f. Ap., **4** (1932), 339.
- (6) Unsöld, Zs. f. Ap., **4** (1932), 339; Phys. d. Sternatmos. (1938).
- (7) 第 9 圖の F の部分で特に中心から離れて居るのを outer wing と云ふ。

$$\frac{i_0 - i}{i_0} = \int_0^\infty g_1(\tau\theta) d\tau + \int_0^\infty g_2(\tau\theta) d\tau \quad \dots (11.1)$$

で與へられる。此處に  $g_1$  及び  $g_2$  は optical depth  $\tau$  に於て一つの原子が line の形成に寄與する吸収及び散亂の分量を示す函数である。

Unsöld によれば

$$g_1(\tau\theta) = \frac{\beta_0}{1 + \beta_0 \cos \theta} e^{-\tau \sec \theta} \dots \dots \dots (11.2)$$

$$g_2(\tau\theta) = \{1 + \beta_0 \cos \theta\}^{-1} \left\{ \frac{K_a(\tau)}{2} + \beta_0 \left( \cos \theta - \frac{K_a(\tau)}{2} \right) \right\} \sec \theta e^{-\tau \sec \theta} \dots (11.3)$$

Minnaert<sup>(1)</sup> は第二種の衝突は line の形成に大なる影響を持たないとして、(11.2) 即ち (11.1) の右邊の第一項を省略して考へた。強い線に對しては、 $\sigma_1$  を line の中央から 1 の距離にある散亂係數とし、 $\sigma$  を  $\Delta$  なる距離の散亂係數とすれば、

$\sigma = \frac{\sigma_1}{\Delta^2}$  と書く事が出来る。同様にして  $s = \frac{s_1}{\Delta^2}$  となる。従つて今  $\frac{i_0 - i}{i_0} = h$  と置けば、(11.1) は

$$h\Delta^2 = \int_0^\infty g_2(\tau\theta) ds_1 = c \dots \dots \dots (11.4)$$

となる。

(11.4) から判る様に line 的 wing に於ける強度を連續スペクトルの強度で測ると、近似的に  $\frac{1}{1 + \frac{c}{\Delta^2}}$  で表はされる。一方直接に測つた強度を  $i(\Delta)$  とする。連續背部の強度は未知であるから、 $i_0 + m \cdot \Delta$  とすれば、 $m$  は  $i_0$  を知らなくても、二つの line wing を比較して充分精確にきめる事が出来る。

$$\frac{i}{i_0 + m \cdot \Delta} = \frac{1}{1 + \frac{c}{\Delta^2}}$$

から

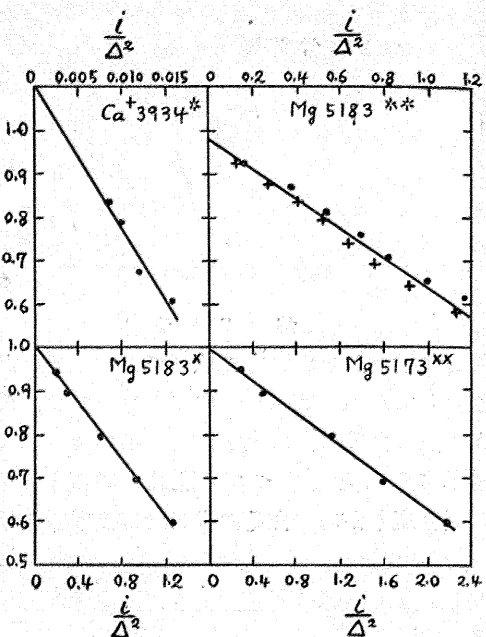
$$i - m \cdot \Delta = i_0 - c \cdot \frac{i}{\Delta^2} \dots \dots \dots (11.5)$$

なる關係が得られるから、 $i - m \cdot \Delta$  を  $\frac{i}{\Delta^2}$  の函数として圖示すれば第 21 圖の如き直線が得られる。それが縦軸を切る點は  $i_0$  の値を與へ、其の直線の傾きは  $c$  を決定する。

今  $g_2(\tau\theta)$  が

$$g_2(\tau\theta) = a(\theta) e^{-b(\theta)\tau} \dots \dots \dots (11.6)$$

であらはされるものと假定する。 $a, b$  は勿論理論的に求められる量である。(11.6) に (11.4) の關係を使へば



第 21 圖 \* Unsöld, \*\* Plaskett  
× Minnaert-Mulders, × × Minnaert-Mulders

$$\frac{c(\theta)}{a(\theta)} = \int e^{-b\tau} ds_1 = \int e^{-b\tau} \frac{\sigma}{\kappa} d\tau \dots \dots \dots (11.7)$$

$\sigma, \kappa$  に就き全壓  $p$  と

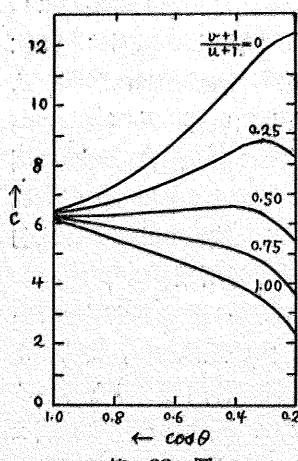
$$k = k_0 p^u, \quad \sigma = \sigma_0 p^v \dots \dots \dots (11.8)$$

なる關係を假定すれば、(11.7) は

$$\frac{c(\theta)}{a(\theta)} = \text{常數} \times b^{-\frac{v+1}{u+1}}$$

$$\text{即ち } \log \frac{c(\theta)}{a(\theta)} = \text{常數} - \frac{v+1}{u+1} \log b(\theta) \dots \dots \dots (11.9)$$

となる。



第 22 圖

第 22 圖は  $\frac{v+1}{u+1}$  の種々の値に對し。  
 $\cos \theta$  の函数として  
 $c$  がどんな値を探る  
かを示したもので、  
圖から判る様に、散  
亂のメカニズムが主  
に高層で行はれる場  
合には ( $v < 0$ )、line 的  
wing の強度は太陽  
の周縁に向つて段々  
強くなるが、散亂が

(1) Minnaert, Zs. f. Ap., 10 (1935), 40.  
Minnaert & Houtgast, Zs. f. Ap., 12 (1936), 81.

主に深部の層で行はれる場合（即  $v > 0$ ）には、  
wing は周縁で零の強度となる。例へば  $\text{Ca}^+$  の  
3934 線とか  $\text{Ca}^+$  8662 線は太陽の周縁では wing  
の強度が零になる事が豫期せられる。

又カルシウムは太陽大氣の到る處で、殆ど電離  
状態にありと考へられるから、 $\sigma$  は殆ど深さに無  
関係である。従つて  $v = 0$  となり、此の場合には  
 $u$  の値を観測からきめる事が出来る。即ち K 線  
の強度の變化を太陽面に沿つて ( $\cos \theta$  の値の變化  
に従つて) 測定すれば (11.8) により連續吸收係数  
が壓に對しどんな關係を持つかを調べる事が出來  
る。

Wing の理論は、最初の大きい假定として、  
M.E. モデルを探るか又は S.S. モデルを探るか  
によつて勿論異なつた結果を得るし、Minnaert  
が試みた様な數學的解法<sup>(1)</sup> もあるが此處では省略  
する事にする。

## 12. Equivalent-breadth の問題

太陽スペクトルでは、Rowland scale で 4 より  
小さい line の眞の輪廓は現在の程度の分光器で  
は求める事が出来ない。然し乍ら line の total  
intensity, 即ち equivalent breadth は輪廓に無關  
係で、且つ分光器の分散能に左右される事が少い  
から、此の觀測は弱い線に就いては特に重要性が  
ある。従つてこの問題は多くの人により注目され、  
理論的にも又觀測からも色々研究されて、現在  
では輪廓の理論よりも寧ろ進んで居ると言へよう。  
一般の星のスペクトルでは line の強度が非常に  
弱いから、total intensity の觀測は有力な研究材  
料になるのである。

Equivalent breadth は前に述べた定義から明か  
であるが、プラニメーターにより輪廓の包む面積  
を測定すれば求められる。E.B. を  $W$  であらは  
せば

$$\frac{i}{i_0} = \frac{1}{1 + \frac{c}{\Delta^2}}$$

であるから、

$$W = \int_0^{+\infty} \left(1 - \frac{1}{1 + \frac{c}{\Delta^2}}\right) d\lambda = \int_{-\infty}^{\infty} \frac{d(\Delta)}{1 + \frac{\Delta^2}{c}} \\ = \pi \sqrt{c} \quad \dots \dots \dots \quad (12.1)$$

然るに上に對し  $\Delta$  から  $\infty$  までの wing の面積は

$$\int_{-\infty}^{\infty} \frac{d(\Delta)}{1 + \frac{\Delta^2}{c}} = \sqrt{c} \left( \frac{\pi}{2} - \tan^{-1} \frac{\Delta}{\sqrt{c}} \right) \dots \dots \quad (12.2)$$

で與へられる。従つて我々が眞の強度

$$\frac{i}{i_0} = \frac{1}{1 + \frac{c}{\Delta^2}}$$

に相當して、line の中央から  $\Delta$  の距離に於ける  
輪廓の強度を連續背部の強さと見た時の  $W$  の測  
定の誤差は (12.1), (12.2) から求められる。

例へば Minnaert の結果<sup>(1)</sup> によれば、 $c \sim 30 \text{ \AA}$   
の K 線に對し、測定に於て 2.5% の精確さを有  
つ爲には、 $\Delta \sim \pm 270 \text{ \AA}$  まで測らなければなら  
ない。又分光器によつて其の強度分布の測定値が左  
右される様な弱い線では、line の中央の深さ即ち  
見掛けの剩餘強度  $R_e$  が  $W$  の一つの measure と  
なる。

さて E.B. と關係づけられる問題は、その line  
を生ずる原子の數である。之に就いては Russell,  
Adams 及び Moore が多重線の理論から貴重な研  
究を行つて居る<sup>(6)</sup>。即ち轉移確率の相對的數値が  
知られて居る多重線では、吸收メカニズムの原子  
の數の増し或は轉移確率の増しが line の強さに  
同様な影響を及ぼすものと假定すれば、一種の多  
重線の範圍内では、line の強さと原子の數との間  
に一つの關係が存在する。而もこの關係がすべて  
の多重線に就き同様であるとすれば、色々の元  
素に就き  $\log W$ <sup>(6)</sup> の關係は parallel である。  
Russell<sup>(7)</sup> は此の方法により太陽スペクトルの  
Rowland 強度を原子の數で置き換へた。Rowland  
scale の calibration に就いては既に述べた様に

(1) Minnaert, Zs. f. Ap., 12 (1936), 313.

(2) 然し ghost line, 散亂光, 寫真効果等はかなりの  
影響をもつから注意すべきである。

(3) 例へば Rosseland: Theoretical Astrophysics  
(1936).

Unsöld: Physik der Sternatmosphären (1938).

(4) Minnaert, Zs. f. Ap., 10 (1935), 40.

(5) W.S. Adams & C.E. Moore, Ap. J., 68 (1928), I.  
Russell, Ap. J., 68 (1928), 279.

Russell, Adams & Moore, Ap. J., 68 (1928), 271.

(6)  $\mathfrak{N}$  は resonator と呼ばれ  $\mathfrak{N} = Nf$  である。 $N$  は  
原子の或る level における数、 $f$  は oscillator  
strength。轉移確率と  $f$  との關係は理論からきめ  
られる。

(7) Russell, Ap. J., 70 (1929), 11.

(第10圖参照) Mulders の詳細な結果がある<sup>(1)</sup>.

或る line の E. B. とそれを生ずる原子の數の關係は、全く物理的に最初は古典的方法により、後は量子力學的に多くの人によつて取り扱はれた。一體スペクトル線の幅或は擴がりを生ずる主要要素は、その輪廓の中央部に就いては、原子が熱運動によつてマックスウェルに従ふ運動をして居る事から Doppler 效果を示し、平均として line の擴がりを生ずる所謂 Doppler core を形成するものと<sup>(2)</sup>、radiation の damping<sup>(3)</sup> 或は原子が其の原子、分子或は電子と衝突するメカニズムより来る collision damping<sup>(4)</sup> を含めた所謂 wing の擴がりを形成するものとに分れて居る。従つて  $W$  と  $Nf$  との關係は上の一方のみの場合或は二つとも考へた場合夫々に應じて異なる結果を示す事が理論的に明らかにされた。

以上の理論を實際星のスペクトルに應用する場合には少し物理的取り扱ひと違つた考へを用ひる。即ち物理學的には、吸收線は  $I_v = I_{v0} e^{-kNf}$  なる法則に従ふ吸收管により生ずると假定して解くのであるが、星の場合には既に述べた輻射平衡の理論を導入するのである。得られる結果は弱い線に對しては

$$E \sim NHf \dots \dots \dots \quad (12.3)$$

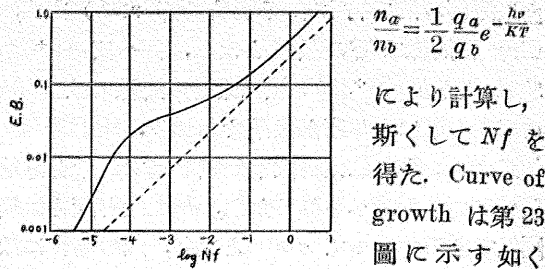
で、此の場合には  $R_v$  は total absorption の計算に殆ど關係しない。強い線に對しては

$$E \sim \sqrt{NHf\gamma} \dots \dots \dots \quad (12.4)^{(5)}$$

となる。

$E$  と  $NHf$  の關係を示す曲線は普通 curve of growth と呼ばれて居る。上の結果から、若し我々が  $NHf$  の相對的な數値が互に知られて居る二つの強い線及び弱い線を選ぶ事が出来るならば、夫から強い線の  $\gamma$  を求める事が出来る。

G. Righini<sup>(6)</sup> は、ナトリウムの oscillator strength を、主系に對しては Prokofjew 及び Filipov<sup>(7)</sup> が決めた値、副系に對しては Ornstein 及び Key<sup>(8)</sup> の得た値等を用ひ、又自分で計算して、S-P (D 線)、P-D、D-F 等の line に就いて數値計算をなした。一方 2 Å/mm の分散度を有つた格子分光器により E. B. の測定を行つた。原子の數  $N$  に就いては、3P—準位及び 3S—準位の原子の數を、ボルツマン法則から、



第 23 圖

により計算し、斯くして  $Nf$  を得た。Curve of growth は第 23 圖に示す如く

で、之から  $Nf$  の小さい場合  $E = 0.179 \times 10^{-12} Nf$

$Nf$  の大なる場合  $E = 0.623 \times 10^{-12} \sqrt{Nf\gamma}$  を得た、従つて  $\gamma$  の觀測値として  $\gamma = 3.4 \times 10^8 \text{ sec}^{-1}$  を得た。同様の試みは Allen によつても行はれた。

又 Ca の 4227 線に就いても、damping constant  $\gamma$  は、6572 線と比較する事により、上と同様にして得られる。Allen<sup>(9)</sup>、Mulders<sup>(10)</sup> は太陽の中心のスペクトルからこの線の E. B. を測定し、 $\gamma$  として

$$\gamma = 16.3 \times 10^8 \text{ sec}^{-1}$$

を得た。然るに之等の  $\gamma$  の値を、量子論から只 radiation damping のみの場合と假定して計算した値と比較すると、ナトリウムの D 線の場合は 10 倍、カルシウムの 4227 線では 11 倍になつて居る。この大きい違ひは collision damping で説明されるであらう。

#### Damping constant を empirical にきめる方法

- (1) Mulders, Zs. f. Ap., **10** (1935), 297.
- (2) Minnaert & Mulders, Zs. f. Ap., **2** (1931), 165.
- (3) Holtsmark, Ann. d. Phys., **58** (1919), 577; Phys. Zs., **20** (1919), 162; **25** (1924), 73. Kuhn, Phil. Mag., **18** (1934), 987.
- (4) W. Lenz, Zs. f. Phys., **25** (1924), 299; **80** (1933), 423; **83** (1933), 139.
- (5)  $\gamma$  は damping の理論で導かれる常数で damping constant と呼ばれる。
- (6) G. Righini, Zs. f. Ap., **10** (1935), 344.
- (7) Prokofjew & Filipov, Zs. f. Phys., **56** (1929), 458.
- (8) Ornstein & Key, Zs. f. Phys., **85** (1933), 565, Physica, No. 10-11.
- (9) Allen, Mem. Comm. Sol. Obs., No. 5 (1934).
- (10) Mulders, Diss. Utrecht (1934).

は多重線に就いて可能であつて、 Allen<sup>(1)</sup>, Minnaert<sup>(2)</sup> 等により試みられた。

太陽大気に於ける collision damping の著しい例は Minnaert 及び Genard<sup>(3)</sup> により Mg の  $3^1P^0 - n^1D$  なる系列に就いて始めて得られた。即ち此の系列に於ては高次項になるに従つて轉移確率は  $1/n^n$  に比例して著しく減少するが、観測の結果 E.B. は殆ど一定なる事を認めた。之は oscillator strength  $f$  は  $n$  の大きい値即ち高次項に進むにつれて減ずるが、 damping constant  $\gamma$  が増加する爲相殺されて、  $E$  は一定を保つものと考へられる。若し damping が主として radiation によるものならば、  $\gamma$  は Weisskopf 及び Wigner<sup>(4)</sup> により、高準位と低準位の夫々の mean life の逆数の和である<sup>(5)</sup>。然るに量子論によれば、高準位の mean life の逆数は、  $n$  が増すと非常に小さくなるから、  $\gamma$  は系列の高次項では低準位  $3^1P_0$  の mean life の逆数になる。これから radiation の damping constant  $\gamma = 2.7 \times 10^8$  が得られる。従つて Mg の  $n^1D$  の damping constant は collision によるもので、  $n$  と共に著しく増し  $2.7 \times 10^8 \text{ sec}^{-1}$  より大きな數値を有つ事が判つた。

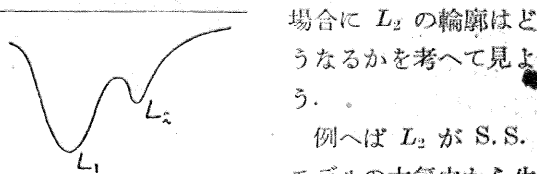
以上の結果から、我々は太陽の E.B. の測定が、スペクトルの微細構造を知るに必要な色々の物理的諸量の決定の問題に、特殊の立場を占める事を知るであらう。或る場合には、量子論から決められた數値をたしかめる役割を務め、又或る場合には物理的には得られない様な諸量の數値を決定する大きい役割を果すのである。

Woolley<sup>(6)</sup> は E.B. から太陽の溫度をきめる試みをした。先づ Ca の中性原子と電離原子の數の比  $n_0/n_1$  を Ca の 4227 線  $\text{Ca}^+$  の 3933 線 (K 線) の E.B. から求め、一方電子壓  $P$  を吸收係數の理論から求めると、 Saha の電離の公式から溫度を出す事が出来る。此は溫度決定の特別の方法として一寸面白い。

### 13. Blending に就いて

一つのスペクトル線のすぐ近傍に他のスペクトル線がある時、我々は此の二つの線はお互に blend をなして居ると云ふ。此の場合には輪廓は相重つて来る爲、いづれの輪廓も他の影響を受けて眞の輪廓を示さない。今圖の如く blend する線を

$L_1$ , blend される線を  $L_2$  とする時<sup>(7)</sup>,  $L_1$  が無い場合に  $L_2$  の輪廓はどうなるかを考へて見よう。



例へば  $L_2$  が S.S. モデルの大氣中から生じ、  $L_1$  はその下層に於て吸收により生ずるものとすれば、二つの line は殆どお互に影響する事がない、従つて  $L_2$  の E.B. は  $L_1$  の存在の爲變るといふ事はない<sup>(8)</sup>。然るに  $L_1$  と  $L_2$  が同じ大氣層に起因すれば、強度ばかりでなく、吸收及び散乱係數がお互に影響を及ぼし合ひ、  $L_2$  は  $L_1$  の爲強度が弱められる。此の一般の解は非常に複雑で又困難であつて、特別の場合のみ理論的に解く事が出来る。それは多重線の場合であつて、而もその多重線の或る線は全く blending の影響を受けないものがあり、或る一部の線が強い line  $L_1$  の wing によつて影響されて居る場合である。此の研究の代表的なものとして、我々は Thackeray<sup>(9)</sup> の解を少し述べて見よう。

Thackeray は先づ此の研究に資する吸收線として、(イ) blend される線は測定し得る程度に強くなければいけない、且つ blend する線よりは充分弱くなければならない、(ロ) blend される線は強度の相対値が知られて居る多重線に屬しなければならない、(ハ) 他の多重線は blend する線の外側にあつて、且つ E.B. は blend する線の E.B. より大きいものも小さいものもなければいけない。

- (1) Allen, loc. cit.
- (2) Minnaert & Mulders, Zs. f. Ap., **1** (1930), 192; **2** (1931), 165.  
Minnaert & Slob, Proc. Akad. v. Wetens. Amsterdam **34** (1931), No. 4.
- (3) Unsöld, Zs. f. Ap., **12** (1936), 56.  
Minnaert & Genard, Zs. f. Ap., **10** (1935), 377.
- (4) Weisskopf & Wigner, Zs. f. Phys., **63** (1930), 54; **75** (1932), 287.
- (5)  $n, m$  を夫々高低二つのエネルギー準位とすれば、  
$$\gamma_{nm} = \frac{1}{T_n} + \frac{1}{T_m}$$
 但し  $T_n, T_m$  は夫々のエネルギー準位に於ける原子の mean life である。
- (6) Woolley, M. N., **93** (1933), 691.
- (7)  $L_1$  は blending line,  $L_2$  は blended line である。
- (8) P. Swings & S. Chandrasekhar, M. N., **97** (1937), 24.
- (9) Thackeray, Ap. J., **84** (1936), 433.

いといふ三つの條件を充すものを選んだ。太陽スペクトルで上の條件を満足するものは  $\text{Ca}^+$  の H, K と、その wing にある Fe の多重線である。即ち H 線の wing には Fe の 3969 線、K 線の wing には Fe の 3920, 3922, 3927, 3930 の 4 本の線がある。

今  $r_1 \dots L_1$  の強度の  $L_1, L_2$  兩線の外側の連續背部の強度に對する比

$r_2 \dots L_2$  の強度の  $L_1, L_2$  兩線の外側の連續背部の強度に對する比

$r_{21} \dots L_2$  の強度のすぐ外側即ち  $I_1$  の wing の強度に對する比

と置き、先づ Eddington の輻射の方程式

$$\cos \theta \frac{dI}{dt} = (\kappa + \kappa_1 + \kappa_2) I - \{(1 - \varepsilon_1)\kappa_1 + (1 - \varepsilon_2)\kappa_2\} \int I \frac{d\omega}{4\pi} - (\varepsilon_1 \kappa_1 + \varepsilon_2 \kappa_2 + \kappa) E \quad (13.1)$$

から出發する。此處に  $\kappa_1, \kappa_2$  は  $L_1, L_2$  に對する吸收係数で、 $\kappa_1$  は  $L_2$  に就いては波長に無關係とする。最初は Doppler の擴がりも衝突も考へない。又々の深さに對する變化は無いものとすると、(13.1)の解は

$$r_2 = \frac{1 + \frac{2}{3}q}{1 + \eta_1 + \eta_2 + \frac{2}{3}q} = F(\eta_1, \varepsilon_1, \eta_2, \varepsilon_2) \quad (13.2)$$

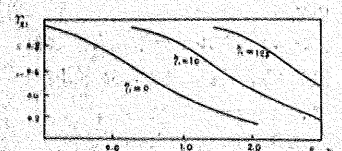
但し

$$q^2 = 3(1 + \eta_1 + \eta_2)(1 + \varepsilon_1 \eta_1 + \varepsilon_2 \eta_2) \quad (13.3)$$

を與へる。測定される量  $r_{21}$  は  $r_{21} = r_2/r_1$  で與へられる。衝突を考へないから  $\varepsilon_1 = \varepsilon_2 = 0$  であつて、従つて(13.2), (13.3)の式から

$$r_2 = F(\eta_1 + \eta_2), \quad r_{21} = \frac{F(\eta_1 + \eta_2)}{F(\eta_1)} \quad (13.4)$$

Blend する line の wing 上の一點  $r_1 = F(\eta_1)$  を満足する特別の  $\eta_1$  の値に對して、 $r_{21}$  が或る範囲（觀測に順應した）の數値を探る様な  $\eta_2$  をとり、その  $\eta_2$  によつて  $F(\eta_1 + \eta_2)/F(\eta_1)$  を計算すれば、第



第 24 圖

される線が blend する line の core に段々近づ

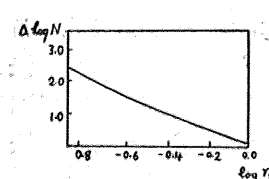
く）と、 $r_{21}$  の曲線は  $\eta_2$  軸に沿ふて  $\eta_2$  の増す方向にされる。之は blend された line の強度が段々弱くなる事を意味する。又圖で判る様に、曲線は  $\eta_1$  の値の如何に拘らず殆ど parallel であるから、

$$r_{21} = \frac{F(\eta_1 + \eta_2)}{F(\eta_1)} = F(\alpha \eta_2) = F(\eta_2') \dots (13.5)$$

と書く事が出来る。之から  $\alpha$  は line が blend された爲に生ずる弱まりを直接表はす一つの量と考へられる。實際計算を實行すれば、3% の誤差の範囲で  $\alpha = r_1^2$  なる事が知られ、従つて  $W = rW'$ 、此處に  $W$  は blend された line の E.B.、即ち  $L_1$  の wing を  $L_2$  の連續背部と考へ、 $W'$  は blend された line が若し blend されないと假定した時の E.B. である。

以上の結果から、Doppler の擴がり、衝突の擴がりいづれも考へに入れない場合には、 $L_2$  の E.B. は blend する line  $L_1$  の wing の連續背部に於ける強度に比例して減する。一方觀測から E.B. を測つて、それに sum rule から得た結果を使って  $Nf$  を求め、blend された line が若し blend されないと假定した時の値  $(Nf)'$  との對數差

$$\Delta \log N = \log (Nf)' - \log (Nf)$$



第 25 圖

を求め、 $\log r_1$  に對して plot すると第25圖の如き結果を得る。これは理論的結果で示した様に、blend する線の core に近づくに従つて blend された線が弱くなる事を示して居る<sup>(1)</sup>。

以上述べたのは吸收線と吸收線の blending であるが、Evershed<sup>(2)</sup>は太陽の極周縁のスペクトル中には、H, K 線のすぐ近くに輝線があらはれる事を發見し、後 Thackeray<sup>(3)</sup>がこれを確めた。こ

(1) Blending の補正に就いては Allen も empirical に行って居る。Allen, Mem. Comm. Sol. Obs., No. 5 (1934).

(2) 最初に發見したのは Jewell である。Jewell, Ap. J., 8 (1898), 119.

Evershed, M. N., 87 (1927), 350; M. N., 89 (1929), 566.

(3) Thackeray, Ap. J., 81 (1935), 336; Publ. A.S.P., 48 (1936), 330.

れ等の線は稀土族に屬し、 $\text{Nd}^+$  の 3934 線は周縁から 1' の處までは見られる。Menzel<sup>(1)</sup>は皆既日食の際矢張此等の線が最初に吸收線から輝線に變る事を自分の測定結果から發表した。此等の問題の研究は將來に待つ處が多い<sup>(2)</sup>。(次表参照)

Evershed の周縁輝線スペクトル		ローランド吸収スペクトル		Menzel の彩層スペクトル		Thackeray の同定	
波長	強度	波長	強度	波長	元素	波長	元素
3931.54	0	3931.59	1	{ 3931.28 74	V? Ce? ?	3931.533	Dy II
34.80	2	...	...	3934.89	Nd <sup>+</sup>	34.813	Nd II
67.04	0	3967.057	od?	...	—	67.048	Ce II
3969.40	3	...	...	3969.27	Fe, Eu <sup>+</sup>	{ 3969.23 27	Eu II Fe

### 結 言

我々は以上に於て太陽の吸收線の輪廓の觀測的立場から見た問題、理論的立場から見た發展の過程を大體述べた積りである。併し此處では全然筆を染めなかつたが、一般太陽面のスペクトルの外に黒點、白斑の様な特殊の現象のスペクトルも研

究されつゝある事を附記したい。

後半の理論的方面の説明に於ては、物理的諸量の導入に不充分な點もあり、又結果のみを記した爲、前後の繋がりが不連續で、變に思はれる點も多いであらう。又一つの説明には詳しく、他の説明には粗なる個處も少くないであらう。之等に就いては心から詫びる次第である。

吸收線の輪廓の問題が、物理學の新らしい分野と相俟つて、かなり突き進んだ處まで鮮明になされつゝある事は否み難い事實で、又將來への發展性の多い幾多の問題を殘して居る事も喜ぶべき事であると思ふ。

終りに臨み、此の綜合報告を御校閲下さつた關口先生、又出版に際し色々御骨折り下さつた福見先生に深甚の感謝を捧げる。

(東京天文臺天文學文獻抄第五冊別刷) [完]

(1) Menzel, Publ. Lick Obs., 17 (1931).

(2) Woolley は 1936 年の北海道の皆既日食の際 Thackeray が撮つた太陽の極周縁のスペクトルの理論的考察を與へて居る。M. N., 98 (1938), 3.

### 論 叢

## 水 晶 時 計 に 就 い て (IV)

橋 元 昌 矢

### 水晶時計比較の一例（第2例）

前回の實驗で短時間に於ては水晶時計の精度は實質に於て精密な天文時計の域に達して居るのが知れたから、今度は尙ほ少し長い期間に亘る確度を知らんとするのである。

則ち水晶時計は長期間に亘つて運動を繼續する、時計を中介としないで天文臺の報時を直接に使用して各自の絶対周波數を決定する（報時の修正値は官報のものを用ふる）。期間は昭和 11 年（1937 年）XI 月 18 日から 20 日迄 3 日間。比較の爲めの電波は電力 1kW、周波數 225kc/sec で検見川から 9 時 33 分より 22 時 35 分迄毎時 33 分より 35 分まで 2 分間周波數約 1002～の音叉發振器で變調したものを作成する。夫れを各所で受信検波して其周波數を決定する。

周波數決定の精度は  $5 \times 10^{-7}$  以内を目的とする。

此の試験の結果は中々良好な成績であつて、天文臺の時計に 1 日の週期の誤差のあることが大體知れた。天文臺の Riefler No. 358 は其他のものに對して 1 日周期の差違を持つて居ることは宮地君などの研究で知れて居る。此 358 は本館内の地下室にあり、其他の二つは遠く離れた深い地下室内に据付てあるが嘗て地震研究所の坪井忠二博士が同所地下室の傾斜計が人々の目方で變化すると云はれた様に時計も人の出入で變化するものとすれば中々面白い問題である。

此時直接使用した時計は深い地下室にある No. 484 であつたから何か時計以外に原因が有るらしい。報時の時の clock の補正値を使つたのみで報

時を使はなかつた天文臺の結果には日週の變化は明瞭には現はれて居ない。

### 天文臺の實驗

#### 1) 諸器械の狀況

今度水晶時計に使用した水晶片は電氣試驗所の河野廣鄰氏が試作された第1號<sup>\*</sup>で同氏が根岸博氏を同行されて發信器を改修の上取付けられたものである。

時計としての性能を知る爲めに度々比較はして居るが周波數算出には丁度報時時の値のみを使用した。夫れであるから他所の成績との差は報時受信からの差があるのみである。天文臺の受信回路の中に PO リレーを使用してゐるから其作用が昼夜の電波の強度に依る差違を作ふと見て差支無からう。

此の期間中天文観測は寧ろ少なかつたが NPG, GBR 及び FYL の報時で他國の時計と比較した處に依ると大體に於て平靜な進行を保つて居た様である。

水晶時計は  $32^{\circ}\text{C} \pm 0.05$  の室内に置いてあつたが明かに 1 日に就き  $-0.01818$  の加速度を示して居た。

#### 2) Beat の観測

Beat を算へるには今度は横川製の 3 element の oscillograph を使用した。受信した波と自己の時計から来る波の振幅を同じ様にして同一の element に入れて beat を書かせる。他の element には Riefler 484, 残りの element には film の速度の變化を明瞭にする爲めに 50~を入れて置いた。

Multivibrator から来る波は harmonics が顯著なので beat の谷が明白に現はれないが數を計算



第 6 圖 交流 50~, Riefler 時計, 呴り。



第 7 圖 Riefler 時計, 呴り, 50~.

するには少しも不都合はない。film を測つて感じたことは振幅は可なり大きい方が測るに樂だと云ふことである。film の數例を次に示す。

又一方比較の爲めに R C A の recorder でも記録した。此兩者間に一々の成績には可なりの差もあるが平均に於ては大した差は勿論なく僅かに  $2 \times 10^{-8}$  に上る。

此の實驗の成果は第 10 表以至第 13 表を見て頂きたい。

第 10 表  
Comparison of Crystal Clock with Riefler 484

Gr. Mean Time at Comparison	Clock Correction	Less Linear Part	2nd Order Corr.	Smoothed Correction
November, 1936				
<i>d h m s</i>	<i>s</i>	<i>s</i>	<i>s</i>	<i>s</i>
13 10 54 44.843	27.407	25.026	.114	25.140
22 8 54.312	29.774	006	.86	152
14 0 19 32.807	30.234	.074	.81	155
3 24 2.541	30.877	.081	.74	155
7 21 24.765	31.700	.089	.66	155
9 15 4.951	32.099	.093	.62	155
11 31 42.044	32.589	.099	.58	157
23 3 48.989	34.988	.121	.38	159
15 1 13 27.721	35.438	.124	.35	159
6 49 32.092	36.709	.135	.27	162
12 9 40.066	37.713	.134	.20	154
22 20 59.776	39.844	.155	.10	165
16 1 5 32.777	40.409	.152	.8	100
1 45 26.235	40.535	.140	.8	148
2 6 22.790	40.610	.143	.8	151
3 58 4.468	41.001	.148	.6	154
5 59 44.508	41.421	.148	.5	153
7 50 26.347	41.807	.153	.4	157
10 10 3.440	42.282	.146	.3	149
11 44 57.901	42.613	.150	.2	152
12 9 43.810	42.702	.153	.2	155
22 20 3.683	44.807	.157	.0	157
23 54 51.902	50.090	.157	.0	157
17 1 44 30.153	45.525	.173	.0	173
2 8 26.226	45.611	.168	.0	168
4 2 7.574	45.997	.160	.0	160
5 59 48.270	46.404	.162	.1	163
8 4 27.819	46.830	.157	.1	158
10 4 8.186	47.229	.144	.2	146
11 44 51.663	47.584	.151	.2	153
12 6 48.065	47.662	.153	.2	155
23 54 51.902	50.096	.143	.9	152
18 1 46 33.578	50.478	.140	.10	150
2 7 30.144	50.554	.144	.11	155
4 0 11.650	50.940	.141	.12	153
7 5 41.225	51.580	.141	.15	156
9 6 21.427	51.991	.134	.17	151
11 43 55.578	52.536	.137	.20	157
12 12 50.996	52.628	.131	.21	152
22 17 11.655	54.716	.130	.34	164
23 57 55.160	55.060	.126	.36	162

\* 天文月報第 32 卷第 1 號第 13 頁の寫眞参照

第 11 表

Clock Stand of the Standard Clock Riefler 484.

Date Nov. 1936

Gr. Mean Time at Comparison	Clock Correc- tion	Less Linear Part	2nd Order Corr	Smoothed correc- tion
19 1 43 37.817	55.429	25.131	.039	25.170
2 8 33.826	55.512	129	40	160
3 57 15.892	55.884	125	43	168
6 58 46.114	56.512	127	48	175
9 54 17.319	57.119	127	53	180
11 43 59.321	57.500	131	56	187
12 8 55.230	57.578	121	57	178
22 7 17.059	59.631	110	78	188
23 55 59.223	60.000	104	82	186
20 1 46 41.058	60.373	095	86	181
2 5 37.950	60.437	094	87	181
5 7 8.171	61.059	089	94	183
7 27 45.101	61.541	085	100	185
10 44 3.052	62.412	073	111	184
12 8 18.961	62.499	073	112	185
22 28 17.353	64.601	037	141	178
21 1 2 51.828	65.126	025	149	174
2 9 41.030	65.349	25.023	152	25.174

日差の大體は  $a+bt$  の形で現はされる。然して

$$a=+4.970 \quad b=-0.01818$$

第 12 表

Reduction of Home Frequency (Daily rate= $a+bt$  where  $a=+4.970 \quad b=-0.01818 (t_0=17.000)$ )

Date Nov. 1936	Gr. Hour	Clock Adopted	Stand Kanpo	Corr. to Daily Rate	Corr'd Rate	2nd Order Corr.	Daily losing Rate Adopted Kanpo
		s Diff.	s Diff.	s s Diff.	s s	s	s s
17 12		25.154	- 1	.147	- 7	- .002 - .012	+4.968 +4.958
18 2		153	+ 1	140	- 1	+ 2 - 2	972 968
18 12		154	+15	139	+19	+ 26 + 33	996 5.003
19 2		169	+12	158	+10	+ 29 + 24	999 4.994
19 12		181	0	168	+ 3	0 + 5	970 975
20 2		181	+ 4	171	+ 9	+ 10 + 22	980 992
20 12		185	-11	180	-10	- 19 - 17	951 953
21 2		174		170			

第 13 表 (Tuning Fork 周波数の算出)

Determination of Frequency. Nov. 18, 1936 (1)

No. of Expr.	Time	Method	Beats in 1 second	Frequency of Home Oscill.	Frequency of Tuning Fork	E.T.L.	Diff.
1	9 34	Rec. Film	2.18400 405	T 1000. - .05729 5717	R 1002. + .12671 683 676 688	.	.
2	10 34		374 443	5728 5716	646 715 658 727	576 594	+112 +133
3	11 34		436 failed	5732 5727	704 709	630	.
4	12 34		424 418	5731 5726	692 687 697 692	635	+ 57
5	13 34		459 462	5730 5725	729 732 734 737	649	+ 88
6	14 34		344 430	5729 5724	615 701 620 706	662	+ 44

No of Expr.	Time	Method	Beats in 1 Second	Frequency of Home Oscill.	Frequency of Tuning Fork	E.T.L.	Diff.
7	15 34		449 455	5728 5723	721 726 727 732	663	+ 69
8	16 34		473 463	5728 5723	745 750 735 740	670	+ 70
9	17 34		481 491	5727 5722	754 759 763 768	670	+ 98
10	18 34		464 449	5726 5721	738 743 723 728	671	+ 57
11	19 34		488 474	5725 5720	763 768 749 754	695	+ 59
12	20 34		491 475	5724 5719	757 772 751 756	689	+ 67
13	21 34		515 456	5750 5758	765 757 706 698	695	+ 3
14	22 34		519 553	5749 5757	770 762 804 796	719	+ 77

同時刻中第1行はRCAのink recorderにより、第2行はbeatの寫真による、第9列(E.T.L.)は遅信省電氣試驗所の成果。第10列は東京天文臺との差。Tは天文臺の測定、Rは官報の値によるもの。

Determination of Frequency. Nov. 19, 1936 (2)

No. of Expr.	Time	Method	Beats in 1 Second	Frequency of Home Oscill.	Frequency of Tuning Fork	E.T.L.	Diff.
1	9 34	R ec. Film	2.18615 651	T R 1000. — .05739 5745	T R 1002. + .12876 870 912 906	889	+ 17
2	10 34		629 625	5738 5746	891 883 887 879	878	+ 1
3	11 34		631 636	5741 5735	890 896 895 901	880	+ 21
4	12 34		638 647	5740 5734	898 901 907 913	899	+ 14
5	13 34		655 640	5739 5733	916 922 901 907	887	+ 20
6	14 34		586 647	5738 5732	848 854 909 915	886	+ 29
7	15 34		600 630	5737 5731	863 869 893 899	874	+ 25
8	16 34		473 598	5737 5731	736 742 861 867	852	+ 15 (1)
9	17 34		585 574	5736 5730	849 855 838 844	833	+ 11
10	18 34		552 572	5735 5729	817 823 837 843	830	+ 13
11	19 34		536 534	5734 5728	802 808 800 806	804	+ 2
12	20 34		542 556	5733 5727	809 815 823 829	801	+ 28
13	21 34		614 560	5699. 5705	915 909 861 855	789	+ 66 (2)
14	22 34		548 533	5698 5704	850 844 885 829	802	+ 27

Note: (1) reading difficult. (2) first part was not observed

## Determination of Frequency. Nov. 19, 1936 (3)

No. of Expr.	Time <sup>h</sup> 9 34	Method Rec. Film	Beats in 1 Second 2.18338 363	Frequency of Home Oscill. T 1000. — .05688 5694	Frequency of Tuning Fork T 1002. + .12650 644 675 669	E.T.L. 578	Diff. + 91
2	10 34		330 323	5687 5693	643 637 636 630	584	+ 46
3	11 34	Receiver		disordered			
4	12 34		310 333	5697 5711	613 599 636 622	590	+ 32 (1)
5	13 34		307 298	5696 5710	611 597 602 588	579	+ 9
6	14 34		303 303	5655 5709	608 594 608 594	577	+ 17
7	15 34		302 284	5694 5708	608 594 590 576	573	+ 3
8	16 34		293 293	5693 5708	599 585 599 585	557	+ 28
9	17 34		267 278	5693 5707	574 560 585 571	552	+ 19
10	18 34		249 268	5692 5706	557 543 576 562	530	+ 32
11	19 34		269 292	5691 5705	578 564 601 587	523	+ 64 (2)
12	20 34		230 282	5690 5704	540 526 542 528	508	+ 20
13	21 34		218 216	5656 5659	562 559 560 557	503	+ 54
14	22 34		232 219	5655 5658	577 574 564 561	521	+ 40

Note: (1) first part wanting (2) disturbed.

以上の成績は第1の實例に比して大差は無いが、之れは頗る至當なことで、最も大切な水晶片が大體同じであるので1日中の變動は1時間中の變動に比して夫れだけ大であつて差支へ無いのであるが各所は1年間に相當な進歩をしたので  $10^{-8}$

迄の計算が意味のある程優良な成績を納め得たのである。

此實驗を御手傳ひ下さつた國際報時所の二日市、壇上、河野の諸氏及び天文臺の外岡氏には厚く御禮を申上げる。(未完)

## 新著紹介

A. Unsöld: Physik der Sternatmosphären mit besonderer Berücksichtigung der Sonne (Berlin, 1938) 邦貨約75圓。

表題の示す通り、此の書物は太陽に重點を置いて星の大氣の理論並びに觀測を取り扱つた500頁の書物である。内容は5部に分れ、第1部は星の大氣の熱平衡に於ける狀態として4章、第2部は連續スペクトルと星の大氣の構成として3章、第3部はフラウンホーファー線の理論を基礎づける一般の物理的概念として3章、第4部はフラウンホーファー線の觀測及び測定とその天體物理

學的理論として4章、第5部は星のスペクトルの量的理論の問題とその應用として3章、全部で17章より成つて居る。相當大なる内容を盛つた本書を限られたページに紹介する事は聊か困難であり、又正鶴を缺く恐れないとしないが、其の一班を伺つて見るに、先づ第1部では熱力學の根本的定理例へばボルツマン、ステファンとかより説き起し量子的に輻射の法則を説明し、太陽の輻射の問題では觀測に就いての相當な説明も與へ、最後に電離及崩壊に一章を費して居る。之は却々興味ある物だけに、數値的計算もかなり與へられて居るから、こんな方

面に頭を突込まんとする人には便利と思はれる。

第2部では輻射平衡の一般式の理論的取り扱ひが詳しく述べられ、その中に含まれる連續吸收係数に就いては今迄の種々の人の理論が述べられて居る。次に第3部に於ては吸收線の理論に必要な harmonic oscillator の dispersion, radiation damping, collision damping 等を古典的方法により紹介し、吸收線のエネルギー・水準の轉移確率の計算、oscillator strength 等、スペクトルの微細構造研究に必要な因子に就いては、新らしい量子的立場から説明し、例へば sum rule 等に就いても忽かせにしない周到さである。これだけの準備をもつて第4部に進むれば、效果は百パーセントであつて、讀者は比較的容易に星の吸收線の正體を掴み得るだらうと豫想される。

さて第4部では吸收線の輪廓の測定の方法を述べ、輪廓の誤差を生ずる諸原因に就いての今迄に出された諸家の論文の簡単な紹介があり、それから吸收線の機構の理論に入るのであるが、Schwarzschild, Schuster, Milne, Eddington 等の所謂モデルに就いての論述は常套であるとしても、Rosseland のサイクルの理論と、夫に關聯した Woolley の interlocking による輪廓の説明、又 Struve の研究に負ふ處の多い turbulence の機構等は近時の吸收線の理論を知る爲には是非一讀しなければならないと考へられる。又星の自轉及星の expansion による輪廓の變化の一項も現在の如く一般に星雲の機構、B型星の大氣の研究に興味津々として盡きぬものがあるに當り、大なる暗示を與へるものと言へよう。尙實際に理論と觀測の比較検討をなす場合にも我々は本書の快調により充分容易になし得る事を知るのである。第5部に於ては、星の分類に就いての著者の考へを述べ、次に太陽面の諸現象、黒點、granula, protuberance, 彩層、コロナに就いての諸氏の研究の紹介がある。其の中で例へば太陽の convection の問題等は特殊のものであるが、注意は相當に向けられ、種々の data が與へられ、夫に關聯して granula の mean life 等が計算されてあるのは興味深いと思ふ。convection は太陽のみでなく一般の星に就いても、考へらるべきものであり、又 Gamow, Weizäcker 一派の星の energy source に関する議論が盛んなる今日、energy source に対する convection の立場は輕々しいものでなく又新たなる眼を拓くやも圖り難い。

以上極く大體の事を紹介したのであるが、参考文献の記載の豊富なる點は特筆に値する。此の書物は一般の理論家の筆になる書物とは聊か趣を異にし、觀測に相當重點を置いて常に harmony を保つて居る邊、Unsold 氏

自身の立場から想像して當然の事乍ら、敬服の至りである。又此の書物は多くの人の論文を紹介してある事は既に述べた通りであるが、實は此の書物を徹し一貫して流れる空氣がある。それは Unsold 流と言はうか。我々は其處に Unsold 氏の執り來つた著しい科學的な “Eigenschaft” を感ずるのである。勿論 Unsold 氏の方法はすべてが充分であるとは言へない。例へば氏の考へた星の大氣の組成は所謂 Russell Mischung と大分隔りがある。此等は將來の問題として興味ある事であらう。此の書物で、只、多くの人の理論を紹介したあたりに難點がないでもない。例へば吸收線の機構に關する諸説の紹介の如き、いくらか散開し過ぎて、まとまり方が不充分な氣味がある點等それである。併し全體的に見たならば、勿論こんな事は此の書物の價値を少しも傷けはしないであらう。Rosseland 氏の Theoretical Astrophysics 以後のヒットである。我々は、天體物理學の良書の末だ少き現在、斯の如き書を得た事を慶賀したい、そして又「其の次に来るもの」Chandrasekhar 氏の Introduction to the Study of Stellar Structure を期待するのである。(藤田)

**松隈謹彌著 宇宙** 「宇宙とは如何なものであるか」は人類の創生以來その腦裡を離れなかつた問題であらう。從つて各時代に於ける宇宙觀はその文化の程度に應じて、或は神話的に、或は哲學的に、或は科學的に、考察せられたのであるが、結局宇宙の構造及びその進化を明かにするには科學的方法による外に途がない。元來天文學研究の究極の目標は宇宙の實相を明らかにするにあるが、之は獨り天文學のみならず自然科學各部門の目標とする所であらう。我々は久しき間科學的宇宙觀に關する邦書の出現を希つて止まなかつた處、先に鈴木敬信氏の著書の刊行あり、今亦岩波全書の一冊として東北帝大教授松隈博士の著書の刊行を見たるは洵に慶賀の至に堪へぬ所である。前者は古代より近代に至る宇宙觀の歴史的記述に重點を置いてゐるに對し、後者は純科學的に立脚して宇宙觀を詳細に紹介して、聊かの骨董味もなく全卷を通じて刷新の氣分が漲つてゐる。

本書の大要を紹介すれば、第1章に於て恒星の距離、運動、等級、スペクトル型等の如き 物理量に解説を與へ、第2章に於て太陽系運動、星流運動を詳述し、第3章に於て恒星の空間分布研究の方法並に距離の間接測定法を過ぎる位丁寧に述べてゐる。第4章以下は近代宇宙觀の展開であつて、著者が最も心血を注いだ部分であると同時に讀者の最も魅力を感じる部分であらう。第4章に於ては局部恒星系、球狀星團系、銀河迴轉に關する問題に解説を與へて銀河系の大觀を説明し、第5章は銀河

系外星雲の總數、性状、距離、視線速度、質量等の決定より速度距離關係に論及して觀測的宇宙の現状を説明し恰もウィルソン山天文臺百吋望遠鏡による星雲の世界探險の報告書と云へらるべき部分である。第6章は相對的宇宙論の解説にして、觀測的事實と調和しない Einstein 宇宙、de Sitter 宇宙の如き靜的宇宙を廢して Lemaître の膨脹宇宙を採用すべき所以を解き其他の宇宙論は未完成の故を以て割愛してある。以上の如き豊富なる内容をば、簡潔にして要領を把握し、然かも平易さを失はないで、僅か 160 頁の小冊に纏め上げた御手並は松隈博士ならでは出來ぬ藝當である。従つて一般讀者諸氏はさほどの困難を感じないで、宇宙の大意を理解することが出来るであらう。この力作が普く讀書界に迎へられんことを衷心より希望して止まない次第である。(鎌木)

**太陽系の起源**, H. N. Russell 著、鈴木敬信・高橋篤子共譯、四六版 218 ペーチ、定價 2 圓 20 錢、恒星社發行。

Russell 教授は 1934 年に Virginia 大學で試みた講義を "the solar System and its Origin" といふ單行本として出版したが、非常な好評を博し全世界に亘つて多くの讀者を獲得した模様である。我國でも鈴木・高橋兩氏が譯書を公にされたのは天文學界のみならず自然科學愛好者に取つて喜ばしいことである。殊に高橋壤といふ新人が登場されて居るのに敬意を表したい。

この書物は第 1 章：運動方面から見た太陽系の性質、第 2 章：太陽系の物理學的及び化學的性質、第 3 章：太陽系の起源説といふ、3 章に分つてゐる。

第 1 章では太陽系が宇宙間で孤立した、しかしながら複雜な組織を持つ存在であることを述べ、次にその中の相對的な運動、太陽系の年齢に及び、最後に太陽系の安定の問題を論じてゐる。この安定の議論の中で彗星の擔つてゐる重要な役割がさまざまの觀點から叙述されて居る、これは主として Russell 氏の多年の研究と思索との蘊蓄を傾けたものであるが、遺憾ながらあまりに簡潔に書かれてみて読み辛い。

第 2 章では惑星の密度、溫度、大氣の狀態を一覽し、

次いで地球の内部に就いて Jeffreys 氏その他から提供された材料を基礎とした叙述を試みてゐる。そして更に進んで地球、惑星、彗星の化學的組織を詳しく述べ、太陽の化學的組成と密接な類縁關係にあるといふ結論に達した。結論は平凡であり常識的であるが、この章に含まれてゐる地球物理學及び天體物理學の知識は該博でもありよく纏まつてゐて天文學の現状を要約してゐると申しても過言ではない。

第 3 章では古い Kant Laplace の星雲説から、Chamberlin Moulton の微惑星説、Jean, Jeffreys の潮汐説を述べて、第 1, 2 章で準備された材料と比較し、その長所や難點を論じてゐる。そして從來の各説でどうしても解決出来ない難點を主として 1. 角運動量の分布 2. 惑星拠出時の溫度(約百萬度)と惑星生成との關係にありとして更に進んだ説明を求めてゐる。かくて Russell 氏の得た結論は太陽が 20 億年の昔通過星と遭遇する前に二連星であつたといふ假説である。

以上がこの書物の大要であるが、著者は最後に舊約聖書のヨブの言葉と Brawning の詩クレオンの拔萃を以て、この問題の目標を造物者の創造といふ見方に移してゐる。この飛躍はまことに興深いことゝ思ふ。自然學的世界觀を樹てる爲に宇宙を大觀しその進化を思索する立場がある。有限な人類の積上げて行く立場には必ずや限界があると考へられるが、こゝから不可知論が生れる可能性がある。又一方創造の世界そのものは造物者の支配する崇高なる時空であるといふ見方がある筈である。その立場では自然科學で取扱ふ宇宙進化論の原始的假説はこの書の著者の如く信仰的な眺望におきかへられる。著者の意見の如くならば宇宙開闢論を自然科學者が取扱はうとしてもある越えがたい溝があつて最後は人智の微力の自覺に陥る悲哀があるわけであるが、しかもなほ人類には止み難き進歩の衝動が感ぜられる。宇宙に直面してかゝる經驗を最も多く味はふ憧憬の自然科學が天文學であるとも言へよう。この書物並びにその背後にある天文學史がこれを明に物語つてゐると思ふ。(石井)

## 抄錄及資料

**無線報時修正値** 東京無線電信所(船橋)を経て東京天文臺より放送した今年1月中の報時修正値は次の通りである。

學用報時は報時定刻(毎日11時及び21時)の5分前即ち55分より0分までの5分間に306個の等間隔の信號を發信するが、此の修正値はそれら306個の信號の内約40個の信號を測定し、最初及び最終、即ち55

分0秒及び0分0秒を表す信號の起端に對する修正値を算出したものである。

分報時は1分より3分まで毎分0秒より1秒間の信號を發信するが、此の修正値はそれら3回の信號の起端に對する修正値を平均したものである。次の表中(+)は遅れすぎ、(-)は早すぎを示す。(東京天文臺)

1939 Jan.	11 <sup>h</sup>				21 <sup>h</sup>				1939 Jan.	11 <sup>h</sup>				21 <sup>h</sup>				
	學用報時		分報時		學用報時		分報時			學用報時		分報時		學用報時		分報時		
	最初	最終			最初	最終				最初	最終			00	00	00	00	
1	+.014	+.017	+.01		+.001	+.001	-.01		16	+.018	+.009	+.01		+.036	+.030	+.04		
2	-.012	-.015	-.02		+.001	+.005	-.02		17	-.030	-.035	-.02		-.057	-.059	-.04		
3	-.023	-.032	-.01		+.013	+.003	+.02		18	+.049	+.046	+.04		—	+.026	+.03		
4	-.035	-.038	-.02		-.034	-.028	-.02		19	+.005	+.006	00		+.038	+.034	+.01		
5	-.015	-.014	-.01		-.021	-.025	-.01		20	.000	-.001	+.01		+.052	+.050	+.07		
6	+.034	+.031	+.02		+.051	+.053	+.04		21	+.062	+.049	+.05		+.005	+.011	+.01		
7	-.040	-.047	-.06		-.044	-.048	-.06		22	+.010	+.007	+.01		-.004	-.010	-.02		
8	+.016	-.003	-.02		-.089	-.047	-.04		23	-.022	-.015	.00		+.004	+.006	00		
9	-.022	-.027	-.03		+.026	+.020	+.02		24	+.007	+.006	+.02		+.009	+.011	+.02		
10	-.026	-.031	-.02		-.006	-.010	.00		25	+.012	+.009	+.01		+.006	+.002	00		
11	+.027	+.026	+.03		+.038	+.042	+.03		26	-.002	-.013	00		+.008	+.004	+.01		
12	+.032	+.025	+.02		+.054	+.046	+.05		27	+.045	+.046	+.05		+.055	+.051	+.06		
13	+.014	+.017	+.03		+.046	+.040	+.04		28	-.004	-.001	-.66		+.032	+.018	+.03		
14	-.056	-.067	-.08		-.097	-.109	-.10		29	+.043	+.034	+.04		+.016	+.014	+.02		
15	-.005	-.010	00		+.010	+.004	+.01		30	+.003	+.002	+.03		+.024	+.024	+.04		
									31	+.052	+.051	+.05		+.062	+.068	+.06		

## 1月における太陽黒點概況

日	黒點群	黒點數	黒 點 概 要	日	黒點群	黒點數	黒 點 概 況
1	—	—	曇、観測なし	16	7	67	中央部に小黒點散在
2	5	28	東縁に小群(I)	17	7	57	著しきものなし
3	8	55	I稍々著しきのみ	18	—	—	兩、観測なし
4	8	50	I中央東部にかゝる	19	7	39	III西縁に行く、全く寂莫
5	6	41	I中央部にかゝる、數減少	20	8	37	小群散在
6	8	57	I稍數多きのみ、東に新群(II)	21	8	41	東に小群(IV)
7	7	67	I廣範圍に擴がる	22	8	64	IV稍々著し
8	8	64	I, II小黒點散在するのみ	23	—	—	雨、観測なし
9	7	63	II中央部にかゝる、I消失	24	8	114	IV數多し
10	—	—	曇、観測なし	25	7	109	IV增加、その他著しきものなし
11	11	97	東に新群(III)	26	10	91	IV中央部で著し、東に新群(V)
12	12	104	II, III稍々著し	27	10	92	IV優勢、Vも稍數多し
13	10	91	小群散在	28	9	102	IV減少、V增加
14	7	69	小群散在するのみ	29	6	49	IV殆ど消失、V數多し
15	7	86	III中央部で稍々著しきのみ	30	—	—	曇、観測なし
				31	7	110	V中央部にかゝり増大

使用器械、方法等については本誌第31卷第4號第77頁参照。(東京天文臺)

**Cosik-Peltier彗星 (1939 a)** 去る1月20日の天文電報は Tashkent の Cosik 及び Delphos の Peltier が各独立に一彗星を発見した事を報じた。前者は 17 日、後者は 20 日の発見であつた。最初 8 等であつたが、東京天文臺の観測では漸時明るくなり、1月26日以後は長時間露出の寫真では數度の尾を認める事が出来る。細い一本の尾が漸時生長し、別に短い尾が見える様になり近日點通過後短い方の尾がなくなり、遂に細い一本の尾となつたが、II月22日に到り此の尾が數本の細い尾となつた。光度の変化は相當劇しく、特に II 月中旬以後は毎日明暗をくり返してゐる。III月上旬には恐らく南進の爲め観測不可能になると思はれる故、次に軌道要素のみを掲げて、推算位置は略す事にする。此軌道は筆者が

Pulkowa の1月19日(電報の位置)、と筆者の観測位置の1月23、24日を用ひて計算したもので、今猶  $q = 0.71810$

$\Delta z \approx 1.5^m$   $\Delta e 1'$  の程度である。(廣瀬)

**Zwicky 発見の超新星** 1月17日 Zwicky は N.G.C. 4636 ( $12^h 3^m 26^s + 3^\circ 25.6' 1855.0$ ) の北西  $0.6'$  の位置に超新星を発見した。

I月17日は 14等、20日は 12.5 等であつた。東京天文臺での寫真では II 月 10 日に約 12 等であつた。N.G.C. 4636 は約 10 等の圓形の星雲で乙女座  $\delta$  の西南  $4.5^\circ$  の所にある。(廣瀬)

### 天 象 櫃

**流星群** IV月中旬から下旬の乙女座火球は光度の著しいものが時々見える。下旬の琴座流星群は稍々著しいものである。本月の主な輻射點は次の様である。

		赤緯	赤緯	附近の星	性質
16-25日	$14^h 0^m$	$-10^\circ$	乙女座 $\alpha$	緩、火球	
20-22日	$18^h 4^m$	$+33^\circ$	琴座 $\kappa$	速、顯著	

**變光星** 次の表は IV 月中に起る主なアルゴル種變光星の極小の中 2 回を示したものである。長週期變光星の極大の月日は本誌本卷第 16 頁にある。本月中に極大に達する筈の星で觀測の望ましいものは R Aql, R Cam, R Cas, SV Cas, R CVn, RT Cyg, V Hya, L<sup>2</sup> Pup 等である。

アルゴル種	範 囲	第二極小	週期	極 小		D	d
				中央	標準時		
062532	WW Aur	$5.6-6.2$	$6.1$	$2 12 6$	$6 21, m_2 25 20$	6.4	0
071416	R CMa	$5.3-5.9$	$5.4$	$1 3.3$	$8 21, 16 20$	4	0
005381	U Cep	$6.9-9.2$	$7.0$	$2 11.8$	$21 1, 26 09.1$	1.9	
204834	Y Cyg	$7.0-7.6$	$7.6$	$2 23.9$	$17 1, 26 07$	0	
182612	RX Her	$7.2-7.9$	$7.8$	$1 18.7$	$20 1, 28 22$	4.8	0.7
145508	$\delta$ Lib	$4.8-5.9$	$4.9$	$2 7.9$	$18 3, 25 313$	0	
171101	U Oph	$5.7-6.4$	$6.3$	$1 16.3$	$14 2, 19 37.7$	0	
103946	TX UMa	$6.9-9.1$	—	$3 1.5$	$10 2, 13 38.2$	0	
191725	Z Vul	$7.0-8.6$	$7.1$	$2 10.9$	$21 1, 25 23$	11.6	0

D—變光時間、d—極小繼續時間、 $m_2$ —第二極小の時刻

### 東京(三鷹)に於ける星の掩蔽(IV月)

(東京天文臺回報 第 72 號に據る。表の説明に關しては第 1 號参照)

日 附	星 名	光 度	現 象	月 齢	中 央 標準時	$a$	$b$	方向角		日 附	星 名	光 度	現 象	月 齢	中 央 標準時	$a$	$b$	方向角			
								$P$	$V$									$P$	$V$	$^{\circ}$	$^{\circ}$
11	89 G. Sagittarii	6.5	R	20.6	1 23.0	-1.4	+2.1	239	283	25	B.D. + $17^\circ 1525$	9.0	D	5.8	19 51	—	—	100	43		
22	B.D. + $18^\circ 602$	9.1	D	2.7	19 11	—	—	55	357	25	B.D. + $16^\circ 1423$	8.1	D	5.8	20 51	—	—	155	97		
23	B.D. + $19^\circ 873$	9.0	D	3.7	19 30	—	—	60	1	25	B.D. + $16^\circ 1426$	8.2	D	5.8	20 56	—	—	130	72		
23	B.D. + $19^\circ 883$	8.8	D	3.8	20 27	—	—	50	353	25	B.D. + $16^\circ 1441$	9.0	D	5.9	22 7	—	—	120	63		
23	B.D. + $19^\circ 885$	8.6	D	3.8	20 41	—	—	45	348	25	$\lambda$ Geminorum	3.6	D	5.9	22 13.2	0.0	-1.5	111	54		
24	19 B. Geminorum	6.2	D	4.7	19 28.5	-0.9	-1.3	97	38	25	B.D. + $16^\circ 1445$	8.7	D	5.9	22 26	—	—	95	38		
24	B.D. + $18^\circ 1131$	9.1	D	4.8	20 0	—	—	165	106	26	B.D. + $14^\circ 1850$	6.4	D	6.8	20 28.4	-1.1	-1.7	115	62		
24	B.D. + $18^\circ 1141$	6.8	D	4.8	20 54.9	—	—	169	111	27	$\kappa$ Cancri	5.1	D	7.7	19 31.1	-2.5	+0.2	77	49		
24	B.D. + $18^\circ 1156$	8.1	D	4.8	21 14	—	—	120	62	28	14 Sextantis	6.3	D	8.8	21 57.0	-1.1	-2.0	131	86		
24	B.D. + $18^\circ 1159$	8.0	D	4.8	21 20	—	—	50	353	30	B.D. - $2^\circ 3433$	7.3	D	10.8	20 55.2	-1.4	-1.8	144	146		
24	B.D. + $18^\circ 1165$	8.2	D	4.8	21 52	—	—	95	39	30	B.D. - $3^\circ 3213$	7.1	D	10.9	23 53.8	-0.9	-2.6	152	111		
25	B.D. + $17^\circ 1518$	6.7	D	5.7	19 4.3	-1.3	-1.7	116	63												

## 太陽・月及び惑星

主として東京天文臺編纂理科年表に據る。時刻は凡て中央標準時。出入、南中は東京に於けるもの。

表中 15 日毎の赤經、赤緯、時差、黃經、距離、視半徑、視差は凡て  $12^h$  に於ける値。

## 太陽

月	日	赤 經			赤 緯			時 差	
		°	'	"	°	'	"	m	s
IV	1	0	38	35.9	+ 4	9	28	-4	17.0
16	1	33	32.7	+ 9	46	2	-0	5.5	
V	1	2	29	48.1	+14	46	23	+2	47.4

時差=眞太陽時-平均太陽時

月	日	黃 經			地球からの距離			視 半 径	
		°	'	"	km	'	"	m	s
IV	1	10	29	55	0.999	2487	16	1.9	
16	25	14	11		1.003	5869	15	57.7	
V	1	39	51	22	1.007	5787	15	54.0	

黃經は年初の平均分點に對するもので、光行差は合ま  
れてゐない。距離は平均値  $149\ 504\ 201\text{km}$  を單位と  
してある。

月	日	出 南 中			入			出入方位	
		h	m	s	h	m	s	°	°
IV	1	5	30	11 45 18	18	2	北	5.7	58.5
16	5	9	11 41 7	18 14	''	12.7		64.1	
V	1	4	51	11 38 14	18	26	''	18.9	69.1

出入方位は東又は西より測りたるもの

## 月

月	日	地平視差			出 南 中			入	
		h	m	s	h	m	s	h	m
IV	1	60	8.93		14	53	21	25	3 9
16		54	45.54		2	59	8	57	15 1
V	1	58	58.06		16	0	21	53	3 1

月	日	赤道通過			月	日	赤道通過		
		h	m	s			h	m	s
IV	4	13	18		IV	3	0	6	

下弦 12 1 11 最 南 9 13 51

朔 20 1 35 赤道通過 17 1 42

上弦 27 3 25 最 北 23 22 40

赤道通過 30 7 44

最近 IV 1 22 21 地球からの距離 0.94810

最 遠 13 18 11 '' 1.05274

最 近 28 19 7 '' 0.96053

距離は平均値  $384\ 403\text{km}$  を單位としてある。

## 惑

月	日	IV 月 1 日				
		距離	視半徑	出	南中	入
水 星		0.6096	5.5	5 29	11 55	18 21
金 星		1.1206	7.5	3 50	9 19	14 48
火 星		1.0873	4.3	0 43	5 33	10 23
木 星		5.9068	15.6	4 47	10 36	16 25
土 星		10.3428	7.2	6 5	12 23	18 41
天王星		20.4611	1.7	7 10	14 0	20 50
海王星		29.2730	1.2	16 21	22 36	4 54

月	日	IV 月 16 日				
		距離	視半徑	出	南中	入
水 星		0.6364	5.3	4 23	10 29	16 37
金 星		1.2215	6.9	3 41	9 28	15 15
火 星		0.9522	4.9	0 18	5 8	9 59
木 星		5.8098	15.8	3 57	9 50	15 43
土 星		10.3548	7.2	5 11	11 31	17 51
天王星		20.5828	1.7	6 13	13 4	19 55
海王星		29.3838	1.2	15 20	21 35	3 54

月	日	V 月 1 日				
		距離	視半徑	出	南中	入
水 星		0.8339	4.0	3 51	10 1	16 11
金 星		1.3162	6.4	3 29	9 35	15 41
火 星		0.8245	5.7	23 47	4 40	9 32
木 星		5.6732	16.2	3 6	9 3	15 0
土 星		10.3115	7.2	4 17	10 39	17 1
天王星		20.6472	1.7	5 17	12 8	19 0
海王星		29.5500	1.2	14 20	20 35	2 55

距離は地球からのもので、その単位は太陽に於けるものと同様。

## 惑星現象

IV 月 3 日	海王星、月と合	V 月 18 日	水星、月と合
3	水星、太陽と内合	19	土星、月と合
11	火星、月と合	20	金環食(日本にては見えず)
12	土星、太陽と合	21	天王星、月と合
14	水星、降交點通過	22	金星、木星と合
17	水星、留	24	水星、遠日點通過
17	金星、月と合	27	金星、遠日點通過
17	木星、月と合	30	海王星、月と合

## 定款一部変更の件

拜啓時下益々御清榮之段奉賀候

陳者本會定款第十五條の一部は會務遂行上多少の支障あることと聞き及び候就ては此際下記の如き變更が必要と存ぜられ候間之れに關し總會に附議相成様必要な手續至急御取遊び相成度此段得貴意候

敬具

記

定款第十五條中通常會員入會手續に關する部分を次の如く改む

通常會員タラントスル者ハ氏名現住所職業及生年月日ヲ記シ會員一名ノ紹介ヲ以テ本會ニ申込ムヘシ

昭和十四年二月

發起人

橋元昌矣、福見尚文、寺田勢造、水野良平、石井重雄

宮地政司、中野三郎、服部忠彦、長澤進午、清水 弘

日本天文學會理事長 關口 鯉吉 殿

拜啓時下益々清榮之段奉賀候

陳者今回前記の如き定款條項中變更の件請求有之候間定款第三十條によつて来る四月二十三日午後一時より三鷹村東京天文臺に於て開催の通常總會に於て審議投票を行ひ度候間何幸御參會相成度候

敬具

社團法人日本天文學會理事長 關口 鯉吉

會員各位

尙同件は二月二十五日の評議員會に上程され多數の賛成を以て可決されしものに有之候

## 日本天文學會要報第6卷第1冊(第21號)

昭和14年3月發行 定價金1圓50錢、送料6錢、本文53頁

内容： 富士山の觀測報告(田代實)；本邦に於ける中心食(1)(鈴木敬信)

小惑星の一般攝動に就いて(沈曉)；日本天文學會會員の1928年流星の觀測(神田茂)

日本天文學會會員の變光星の觀測(1928)(神田茂)；同(1929)(神田茂)

昭和14年3月25日印刷

定價金30錢

昭和14年4月1日發行

(郵稅5厘)

編輯兼發行人

東京府北多摩郡三鷹村大澤東京天文臺構内

福見尚文

印刷人

東京市神田區美土代町16番地

島連太郎

印刷所

東京市神田區美土代町16番地

三秀舎

設 東京府北多摩郡三鷹村東京天文臺構内

東京市神田區表神保町  
東京

行 社團法人日本天文學會

東京市神田區神保町  
岩波書店

所 振替口座 東京 13595

東京市京橋區橫町3丁目3番地  
北隆館書店

東京市芝區南佐久間町2/4  
恒星社

東京市日本橋區道2丁目6番地  
丸善株式會社

# THE ASTRONOMICAL HERALD

VOL. XXXII NO. 4

1939

April

---

## CONTENTS

M. Notuki, T. Hattori, I. Semba: On the Recent Aspect of the Solar Phenomena (Original) .....	57
Y. Fujita: On the Line Profiles of the Solar Absorption Spectra (Collective Review).....	63
M. Hasimoto: On the Crystal Clock (Article).....	69
Book Review—Abstracts and Materials—Sky of April, 1939 .....	73